

บทที่ 4

ผลการทดลองและอภิปรายผล

4.1 ลักษณะอะลูมิเนียมออกไซด์หลังผังอาร์กอนไอโอดิน

4.1.1 การผังอาร์กอนไอโอดินในทับทิมสังเคราะห์

ตัวอย่างที่ผังอาร์กอนไอโอดินในทับทิมสังเคราะห์ ที่โดยสาร คือ 5×10^{15} , 1×10^{16} ไอโอดิน/ซม² มีสีใกล้เดียวกับชิ้นงานก่อนผังไอโอดินมาก ไม่สามารถแยกได้ด้วยตาเปล่า ในตัวอย่างที่เหลือคือที่ผังด้วยโดยสาร 5×10^{16} , 1×10^{17} และ 1×10^{18} ไอโอดิน/ซม² ให้แสงผ่านได้น้อยลงเมื่อเทียบกับที่ผังด้วยโดยสาร

4.1.2 การผังอาร์กอนไอโอดินในแซฟไฟร์สังเคราะห์

การผังอาร์กอนไอโอดินในแซฟไฟร์สังเคราะห์ ให้ผลลัพธ์กับที่ได้ในทับทิมสังเคราะห์ กล่าวคือที่โดยสาร 5×10^{15} , 1×10^{16} และ 5×10^{16} ไอโอดิน/ซม² ตัวอย่างมีสีและความใสเหมือนกับชิ้นงานก่อนผังไอโอดิน ไม่สามารถแยกความแตกต่างได้ด้วยตาเปล่า ตัวอย่างที่ผังไอโอดินด้วยโดยสาร 1×10^{17} และ 1×10^{18} ไอโอดิน/ซม² ให้แสงผ่านได้น้อยลงเมื่อเทียบกับที่โดยสาร เช่นเดียวกัน

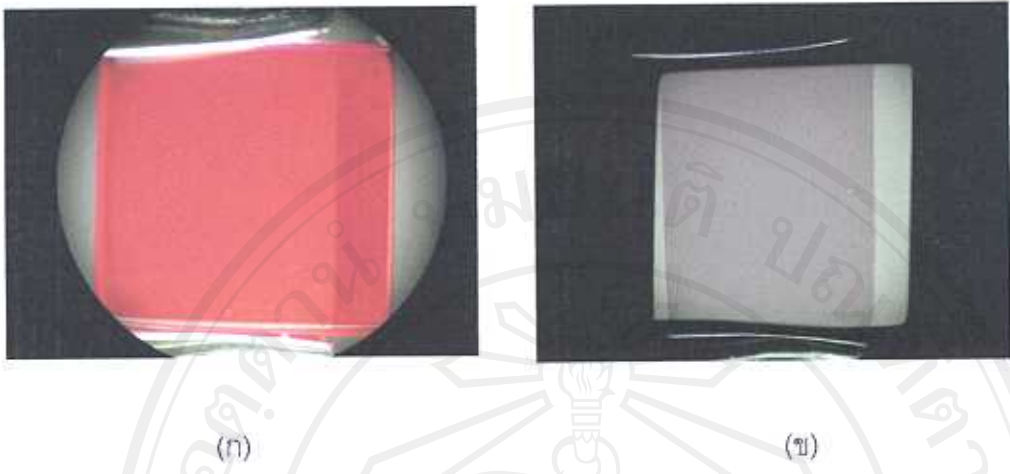
4.2 ลักษณะอะลูมิเนียมออกไซด์หลังผังออกซิเจนไอโอดิน

4.2.1 การผังออกซิเจนไอโอดินในทับทิมสังเคราะห์

การผังออกซิเจนไอโอดินในทับทิมสังเคราะห์ ที่โดยสาร คือ 5×10^{15} และ 1×10^{16} ไอโอดิน/ซม² ไม่ทำให้เกิดการเปลี่ยนแปลงของสีและความใสของตัวอย่าง ส่วนตัวอย่างที่ผังด้วยโดยสาร 1×10^{17} , 5×10^{17} และ 1×10^{18} ไอโอดิน/ซม² มีการผ่านแสงได้น้อยลง

4.2.2 การผังออกซิเจนไอโอดินในแซฟไฟร์สังเคราะห์

การผังออกซิเจนไอโอดินในแซฟไฟร์สังเคราะห์ ให้ผลเหมือนกับในทับทิมสังเคราะห์ กล่าวคือที่โดยสารจะไม่เห็นการเปลี่ยนแปลงเกิดขึ้น เมื่อโดยสารสูงขึ้นจะมีการผ่านแสงได้น้อยลง



รูป 4.1 ลักษณะตัวอย่างหลังพ่นสีออกอน (ก) ทับทิมสัมเคราะห์ (ข) แซฟไฟร์สัมเคราะห์

4.2 การวัดค่าชนีหักเห

ผลการวัดค่าชนีหักเหในทับทิมและแซฟไฟร์สัมเคราะห์ในตัวอย่างทั้ง 20 ตัวอย่าง ของอะลูมิเนียมออกไซด์ก่อนพ่นสีออกอน หลังพ่นสีออกอน และหลังอบ ที่ 800°C แสดงในตารางที่ 4.1 และ ตารางที่ 4.2 เมื่อจากทับทิมและแซฟไฟร์สัมเคราะห์มีเครื่องหมายทางแสงเป็นลบ ดังนั้นจะ มีค่า g_0 มากกว่า g_E

หลังการพ่นสีออกอนที่โคลสต่างๆ พบร่วมกันมีการเปลี่ยนแปลงค่าค่าชนีหักเหของตัวอย่าง และ ในรั้งตัวอย่างที่ผ่านการอบที่ 800°C เวลา 1 ชั่วโมง ก็ไม่พบการเปลี่ยนแปลงของค่าค่าชนีหักเห จากการสังเกตในขั้นตอนวัดค่าชนีหักเหพบว่า รั้งตัวอย่างที่พ่นสีออกอนในบริเวณโถสีสูง โดยเฉพาะ ฝังด้วยอุริกอนนั้น สามารถสังเกตเห็นแบบมีค่าของ g_0 และ g_E ที่มองผ่านเลนส์ได้ยากขึ้นแต่เมื่อ รั้งตัวอย่างผ่านการอบ แต่บ่มีดีสามารถสังเกตเห็นได้ง่ายขึ้น

Copyright © by Chiang Mai University
All rights reserved

ตารางที่ 4.1 ดัชนีหักเหของทับทิมและเซฟไฟร์สังเคราะห์ ก่อนผิงไออกอน หลังผิงอาวร์กอนไออกอน และหลังอบที่ 800°C เวลา 1 ชั่วโมง

รหัสตัวอย่าง	ค่าดัชนีหักเห ^a ที่ $\lambda = 589 \text{ nm}$					
	ก่อนผิงไออกอน		หลังผิงไออกอน Ar^+		หลังอบ	
	n_0	n_E	n_0	n_E	n_0	n_E
R1	1.777	1.768	1.779	1.769	1.778	1.768
R2	1.778	1.769	1.779	1.769	1.778	1.770
R3	1.777	1.768	1.777	1.769	1.778	1.770
R4	1.778	1.768	1.780	1.770	1.778	1.770
R5	1.778	1.769	1.779	1.770	1.778	1.770
S1	1.770	1.762	1.770	1.762	1.770	1.762
S2	1.771	1.762	1.770	1.762	1.770	1.762
S3	1.771	1.762	1.771	1.762	1.770	1.762
S4	1.771	1.761	1.770	1.761	1.770	1.762
S5	1.770	1.762	1.770	1.761	1.770	1.762

^a ค่า uncertainty ของดัชนีหักเหมีค่า ± 0.002

ตารางที่ 4.2 ดัชนีหักเหของทับทิมและเซฟไฟร์สังเคราะห์ ก่อนผิงไออกอน หลังผิงออกซิเจนไออกอน และหลังอบที่ 800°C เวลา 1 ชั่วโมง

รหัสตัวอย่าง	ค่าดัชนีหักเห ^a ที่ $\lambda = 589 \text{ nm}$					
	ก่อนผิงไออกอน		หลังผิงไออกอน O^+		หลังอบ	
	n_0	n_E	n_0	n_E	n_0	n_E
R6	1.777	1.769	1.778	1.768	1.778	1.768
R7	1.778	1.768	1.778	1.768	1.778	1.768
R8	1.779	1.768	1.778	1.768	1.778	1.769
R9	1.779	1.770	1.779	1.770	1.779	1.770
R10	1.779	1.770	1.778	1.769	1.778	1.768
S6	1.770	1.762	1.771	1.762	1.772	1.762
S7	1.770	1.762	1.770	1.762	1.770	1.762
S8	1.770	1.762	1.770	1.762	1.770	1.762
S9	1.771	1.762	1.771	1.762	1.771	1.762
S10	1.771	1.762	1.772	1.762	1.772	1.762

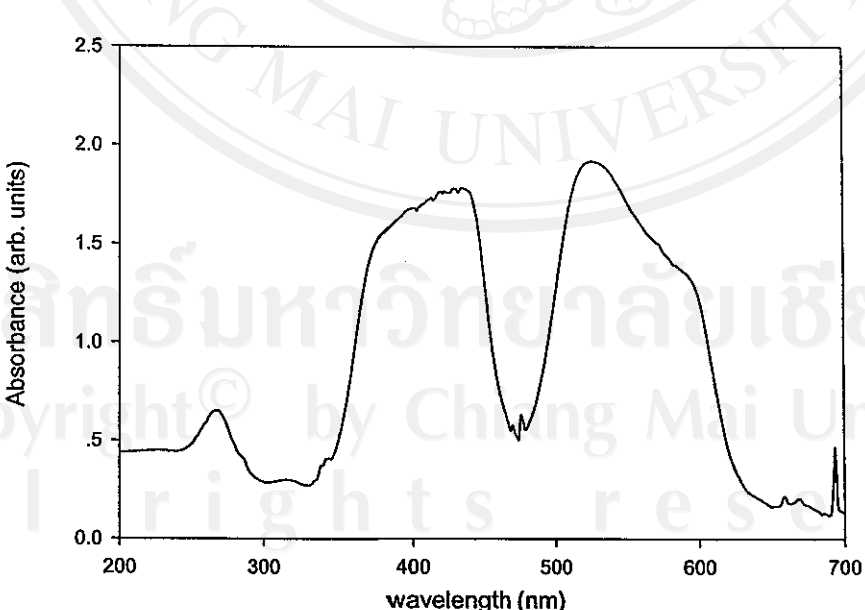
^a ค่า uncertainty ของดัชนีหักเหมีค่า ± 0.002

4.4 การวัดการดูดกลืนแสงก่อนและหลังฟังไอก่อน

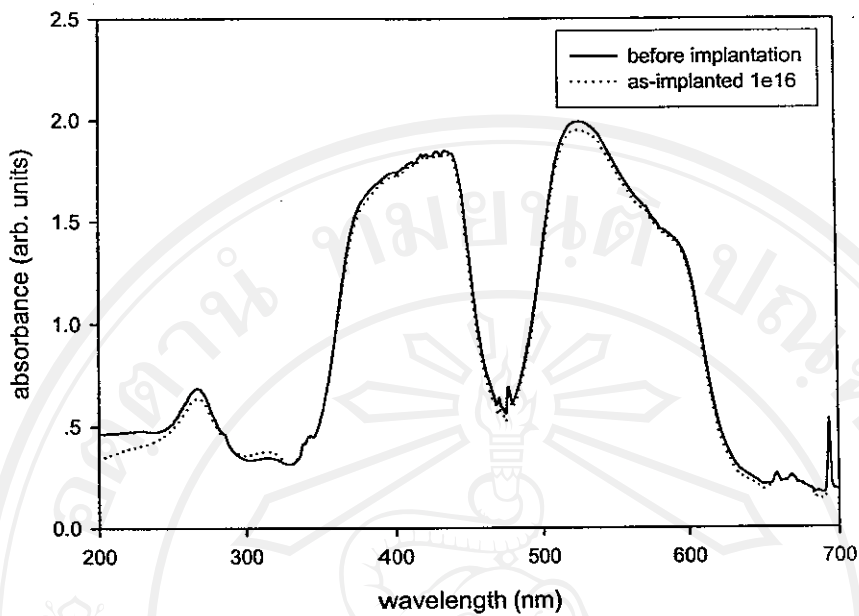
การวัดการดูดกลืนแสงก่อนและหลังฟังไอก่อนในทับทิมและเชฟไฟฟ์สั่งเคราะห์ ได้ใช้ เครื่อง spectrophotometer ของ Acton Research Corporation ได้เปรียบเทียบสเปกตรัม ของตัวอย่างก่อนและหลังฟังอาร์กอนไออกอนที่โดย 1×10^{16} , 1×10^{17} และ 1×10^{18} ไออกอน/ cm^2 เพื่อเป็นข้อมูลอ้างอิงในการฟังไออกอนบนทับทิมและเชฟไฟฟ์สั่งเคราะห์ โดยมีรายละเอียดดังนี้

4.4.1 การวัดการดูดกลืนแสงก่อนและหลังฟังไอก่อนในทับทิมสั่งเคราะห์

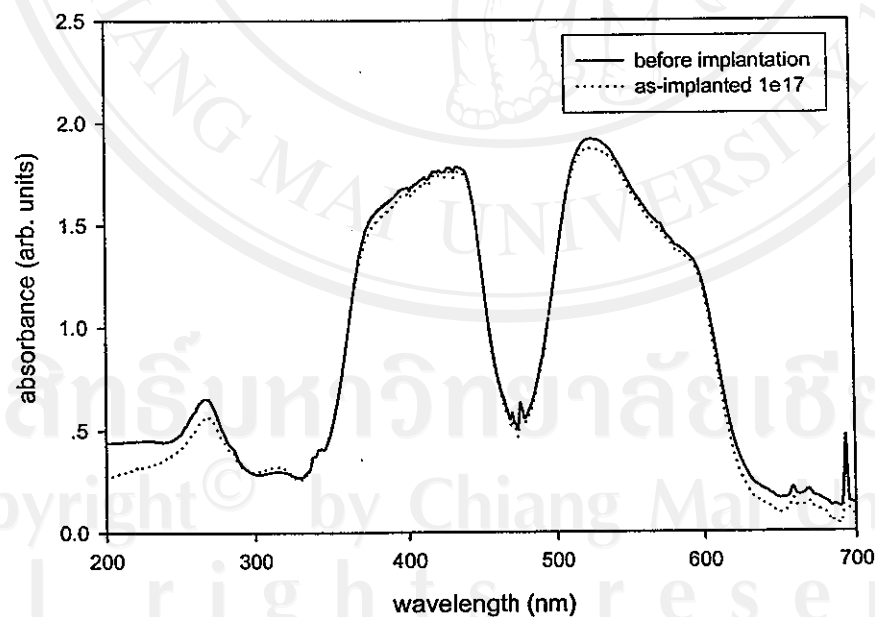
สเปกตรัมการดูดกลืนแสงของทับทิมสั่งเคราะห์ก่อนฟังไออกอน มีการดูดกลืนแสงเป็นช่วง แคบที่ 267 นาโนเมตร และช่วงกว้าง 2 ช่วงคือ 370 - 450 นาโนเมตร และ 500-600 นาโนเมตร โดยมีพีคเล็กๆ ที่ 469, 475, 660, 669 และคุณขัตที่ 694 นาโนเมตร พิการดูดกลืนแสงมีค่าสูงสุด ที่ 525 นาโนเมตร ซึ่งตำแหน่งของการดูดกลืนแสงเหล่านี้เกิดจาก Cr^{3+} (Themelis, 1992 และ Siripaisarnpipat et al., 2002) โดยลักษณะสเปกตรัมการดูดกลืนแสงของทับทิมสั่งเคราะห์ก่อน การฟัง Ar^+ แสดงดังรูป 4.2 และหลังการฟังด้วย Ar^+ ที่โดย 1×10^{16} , 1×10^{17} และ 1×10^{18} ไออกอน/ cm^2 พนว่าสเปกตรัมการดูดกลืนแสงมีลักษณะโดยรวมไม่ต่างจากก่อนฟังไออกอน แต่ความเข้มของการดูดกลืนแสงหลังฟังไออกอนลดลงในช่วง 200-280 และ 620-700 นาโนเมตร โดย สเปกตรัมการดูดกลืนแสงของทับทิมสั่งเคราะห์ก่อนและหลังฟังด้วยอาร์กอนไออกอนแสดงในรูป 4.3-4.5



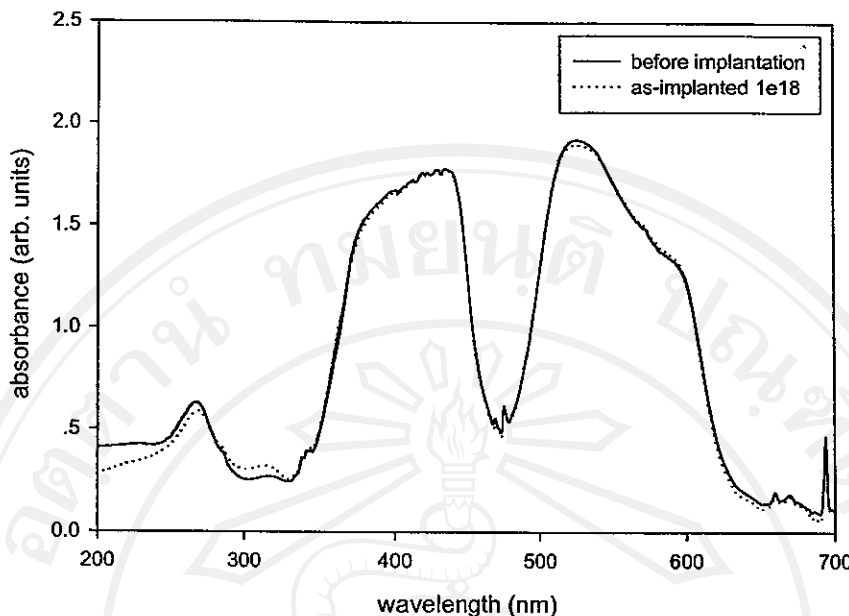
รูป 4.2 การดูดกลืนแสงของทับทิมสั่งเคราะห์ก่อนการฟังไออกอน



รูป 4.3 การคุณภาพแสงของทับทิมสังเคราะห์ ก่อนและหลังฝัง Ar^+ ดosis 1×10^{16} ไอโอน/ ซม^2 เวลา 9.30 นาที



รูป 4.4 การคุณภาพแสงของทับทิมสังเคราะห์ ก่อนและหลังฝัง Ar^+ ดosis 1×10^{17} ไอโอน/ ซม^2 เวลา 1.38 ชั่วโมง



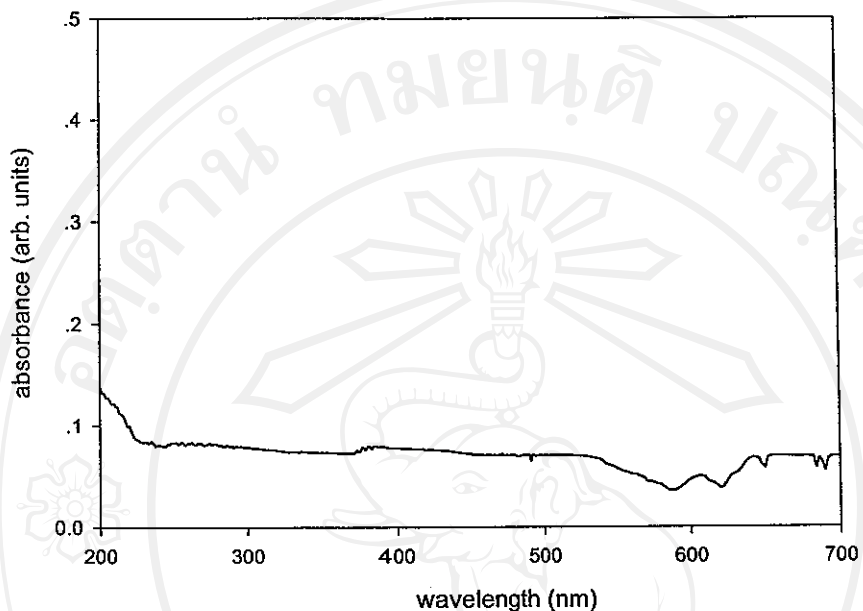
รูป 4.5 การดูดกลืนแสงของทับทิมสังเคราะห์ ก่อนและหลังฝัง Ar⁺ โดส 1x10¹⁸ ไอโอน/ซม² เวลา 5.26 ชั่วโมง

4.4.2 การวัดการดูดกลืนแสงก่อนและหลังฝังไอโอนในแซฟไฟร์สังเคราะห์

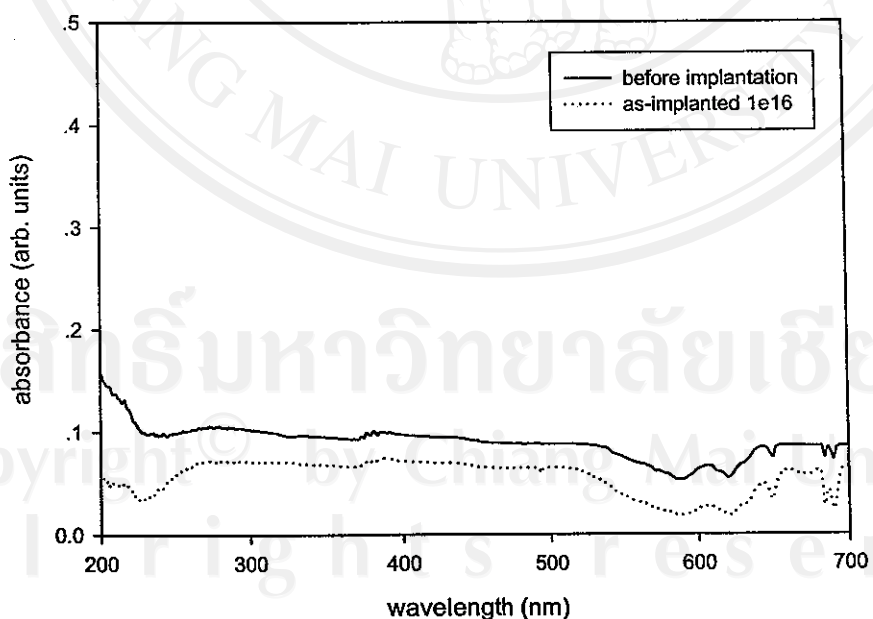
การวัดการดูดกลืนแสงด้วย Acton spectrophotometer เพื่อเปรียบเทียบการดูดกลืนแสง ก่อนและหลังฝังไอโอนในแซฟไฟร์สังเคราะห์ เนื่องจากแซฟไฟร์สังเคราะห์มีลักษณะใสและไม่มีสี มีค่าการดูดกลืนแสงซึ่งต่ำตลอดทุกความยาวคลื่น โดยสเปกตรัมก่อนการฝังไอโอนมีความเข้มสูง สุดที่ 200 นาโนเมตร และลดลงอย่างต่อเนื่องถึง 230 นาโนเมตร และค่อนข้างคงที่ในช่วง 230-540 นาโนเมตรและลดต่ำลงในช่วง 550-650 นาโนเมตร หลังจากนั้นจะคงที่จนถึง 700 นาโนเมตร ลักษณะสเปกตรัมการดูดกลืนแสงของแซฟไฟร์สังเคราะห์ก่อนการฝังอาร์กอนไอโอนแสดง ดังรูป 4.6

หลังการฝังด้วย Ar⁺ ที่โดส 1 x 10¹⁶ ไอโอน/ซม² พบร้าสเปกตรัมการดูดกลืนแสงมี ลักษณะโดยรวมเหมือนเดิมแต่มีความเข้มหลังฝังไอโอนลดลง 63 % ในช่วง 200-230 นาโนเมตร และประมาณ 26 % ในช่วง 280-700 นาโนเมตร แซฟไฟร์สังเคราะห์ที่ฝัง Ar⁺ โดส 1 x 10¹⁷ ไอโอน/ซม² ความเข้มของการดูดกลืนแสงหลังฝังไอโอนลดลงมากที่สุดคือ 63 % ในช่วง 200-230 นาโนเมตร และมีค่าใกล้เคียงกับตัวอย่างก่อนฝังไอโอนในช่วง 310-450 นาโนเมตรลดลงอีก ครั้งในช่วง 280-700 นาโนเมตร และที่โดส 1 x 10¹⁸ ไอโอน/ซม² สเปกตรัมการดูดกลืนแสงหลังฝัง ไอโอนลดลง 70 % ที่ 200-230 นาโนเมตร และเพิ่มขึ้นจนมีความเข้มเท่ากับก่อนฝังไอโอนที่ 262 นาโนเมตร และค่อนข้างลดลง โดยมีลักษณะการดูดกลืนแสงเหมือนตัวอย่างก่อนฝังไอโอนแต่มี

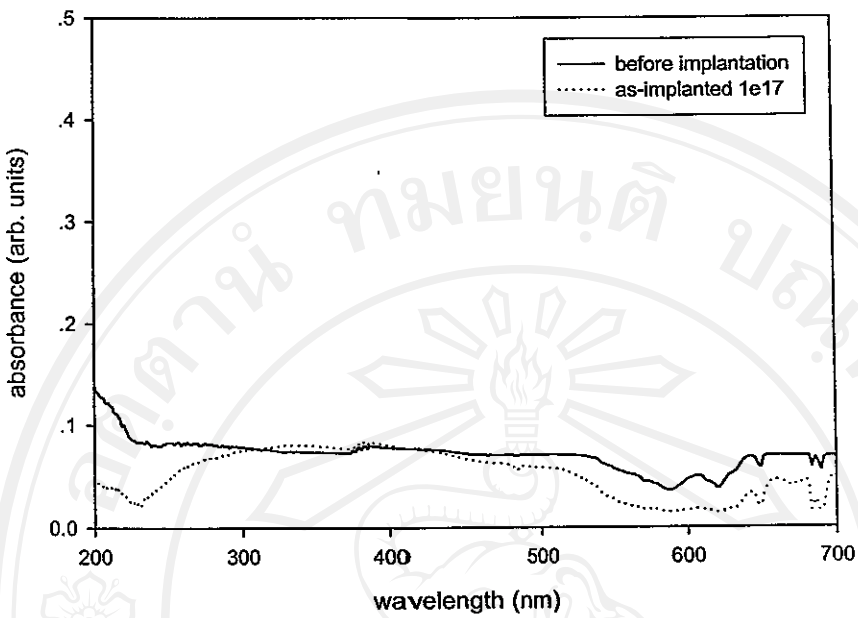
ความเข้มลดลงประมาณ 34% สเปกตรัมการดูดกลืนแสงของเซป์ไฟร์สังเคราะห์ก่อนและหลังผ่านด้วยอาร์กอนไอโอดินที่ดีส 1×10^{16} , 1×10^{17} และ 1×10^{18} ไอโอดิน/ cm^2 แสดงในรูป 4.7-4.9



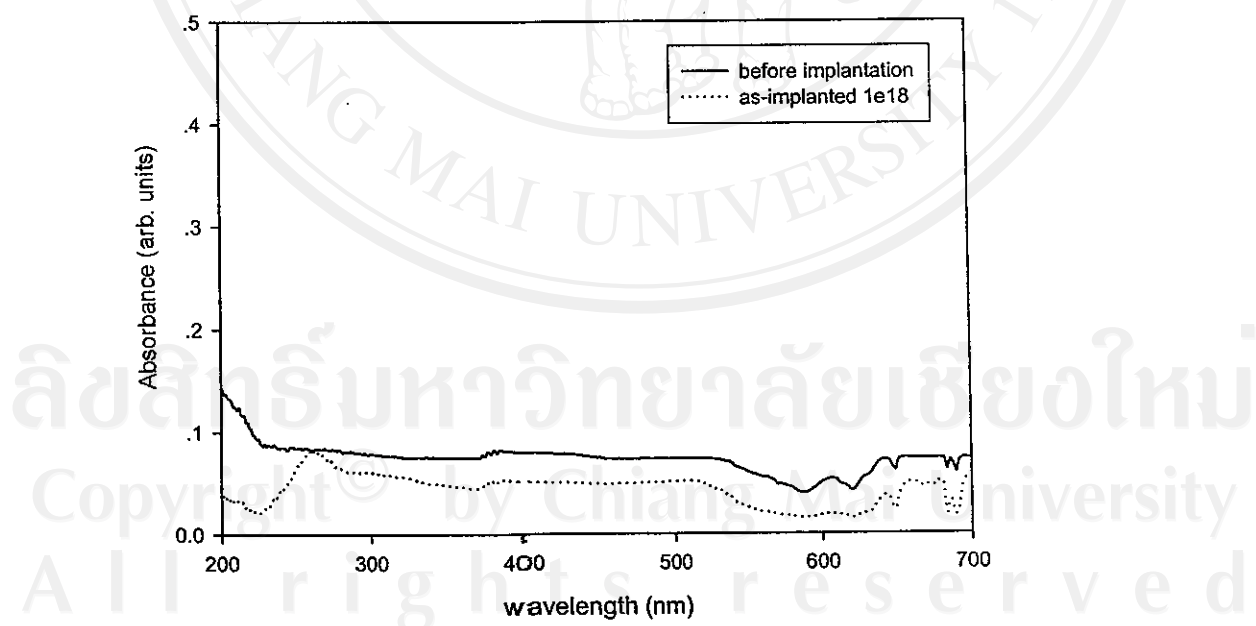
รูป 4.6 การดูดกลืนแสงของเซป์ไฟร์สังเคราะห์ก่อนการผ่านไอโอดิน



รูป 4.7 การดูดกลืนแสงของเซป์ไฟร์สังเคราะห์ ก่อนและหลังผ่าน Ar^+ ดีส 1×10^{16} ไอโอดิน/ cm^2
เวลา 9.30 นาที



รูป 4.8 การดูดกลืนแสงของแพทีฟอร์สังเคราะห์ ก่อนและหลังฝัง Ar^+ โดส 1×10^{17} ไอโอบน/ ซม^2 เวลา 1.38 ชั่วโมง

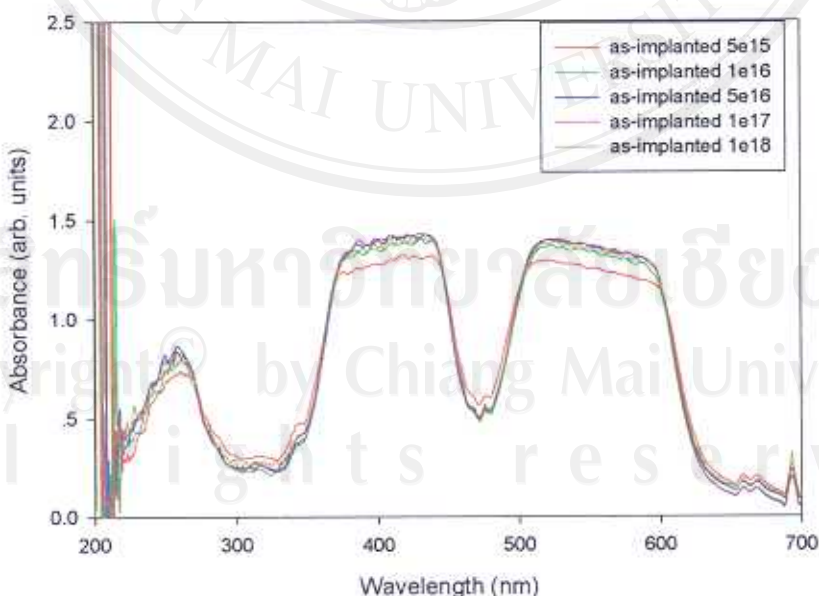


รูป 4.9 การดูดกลืนแสงของแพทีฟอร์สังเคราะห์ ก่อนและหลังฝัง Ar^+ โดส 1×10^{18} ไอโอบน/ ซม^2 เวลา 5.26 ชั่วโมง

4.5 การคุณภาพแสงหลังฟังก์ชันไอออนและหลังอบในทับทิมและแซฟไฟร์สังเคราะห์

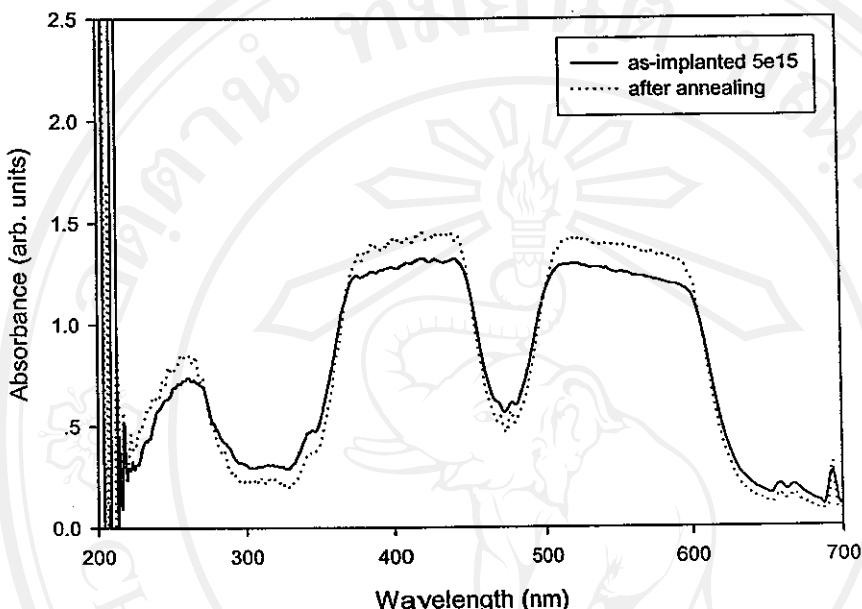
การวัดการคุณภาพแสงของทับทิมและแซฟไฟร์สังเคราะห์ โดยใช้ UV-VIS-NIR spectrophotometer รุ่น U-4100 จากบริษัท HITACHI เพื่อเปรียบเทียบการคุณภาพแสงหลังฟังก์ชันไอออนที่ได้สดต่างๆ และหลังอบที่ 800 °C มีลักษณะการคุณภาพแสงดังนี้

4.5.1 การคุณภาพแสงหลังฟังก์ชันไอออนและหลังอบในทับทิมสังเคราะห์
 การคุณภาพแสงในทับทิมสังเคราะห์หลังฟังก์ชันไอออนที่ได้สดต่างๆ มีลักษณะไม่แตกต่างจาก สเปกตรัมก่อนฟังก์ชันไอออน คือยังคงเป็นลักษณะเฉพาะของการคุณภาพแสงที่เกิดจาก Cr³⁺ คือ มีการ คุณภาพแสงที่ 260 นาโนเมตร การคุณภาพแสงเป็นช่วงกว้างตั้งแต่ 370 ถึงสูงสุดที่ประมาณ 440 นาโนเมตร หลังจากนั้นจะลดลงอย่างรวดเร็ว การคุณภาพแสงจะเพิ่มขึ้นอย่างรวดเร็วอีกครั้งจนถึง 510 นาโนเมตร ช่วงการคุณภาพแสงเป็นบริเวณกว้างถึง 590 นาโนเมตร และมีพีคเล็กๆ ที่ 667 และ 696 นาโนเมตร รูปที่ 4.10 แสดงสเปกตรัมการคุณภาพแสงหลังฟังก์ชัน Ar⁺ ในทับทิมสังเคราะห์ที่ ได้สดต่างๆ พบร้าด้วอย่างที่ฝังด้วยโดส 5×10^{15} ไอออน/cm² มีการคุณภาพแสงในช่วง 370 - 450 และ 510 - 590 นาโนเมตร ต่ำกว่าที่ได้สดอีก ซึ่งมีค่าใกล้เคียงกัน แตกต่างกันประมาณ 10%

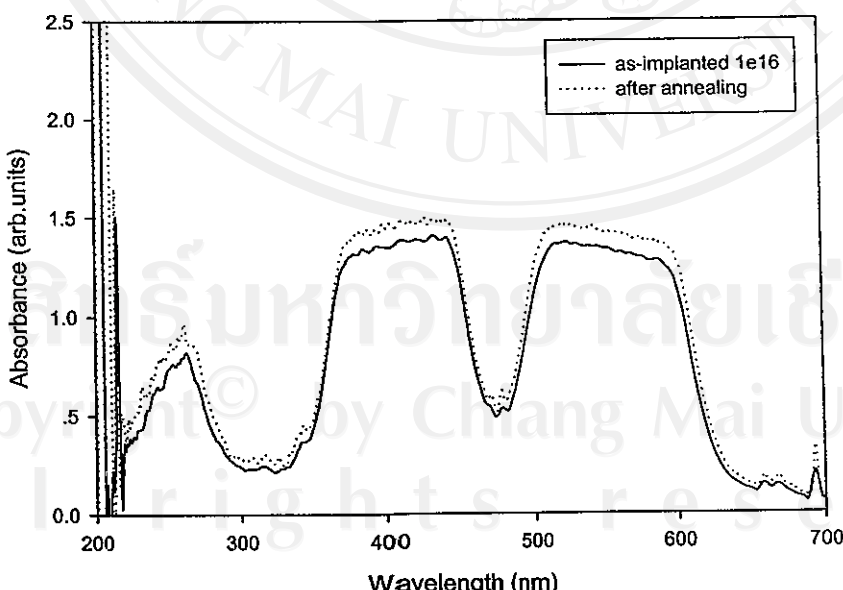


รูป 4.10 การคุณภาพแสงของทับทิมสังเคราะห์หลังการฝัง Ar⁺ พลังงาน 60 กิโลอิเล็กตรอนโวლต์ ที่ได้สดต่างๆ

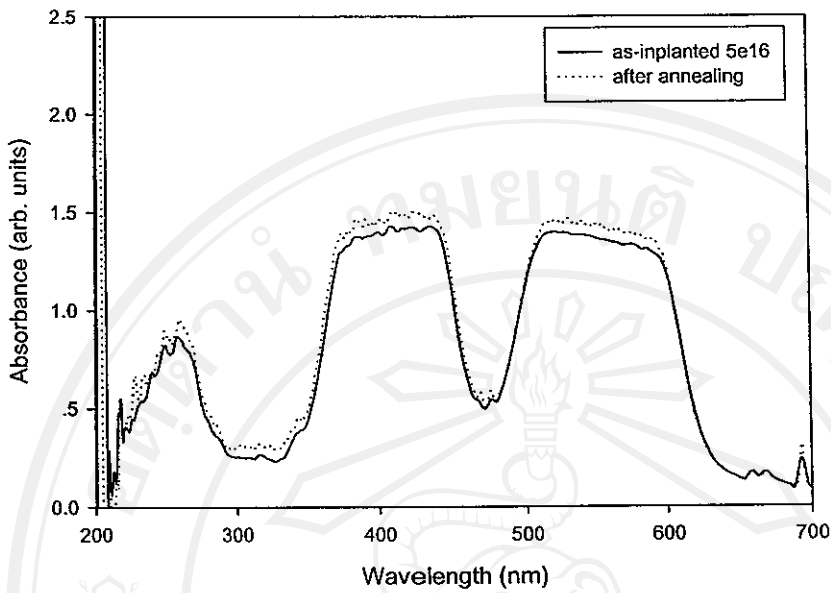
スペクトรัมการดูดกลืนแสงของทับทิมสังเคราะห์หลังฝังไอโอนที่ได้สต่างๆ พบร่วมกับที่ 800°C ลักษณะของスペกตรัมการดูดกลืนแสงมีแนวโน้มเพิ่มขึ้น โดยเพิ่มขึ้นมากที่สุดในตัวอย่างที่ผ่านด้วยไดซ์สูงสุดคือ 1×10^{18} ไอโอน/ cm^2 คือ ประมาณ 11% การเปรียบเทียบสเปกตรัมการดูดกลืนแสงที่ฝังไอโอนที่ได้สต่างๆ ก่อนและหลังอบ ดังแสดงในรูป 4.11 - 4.15



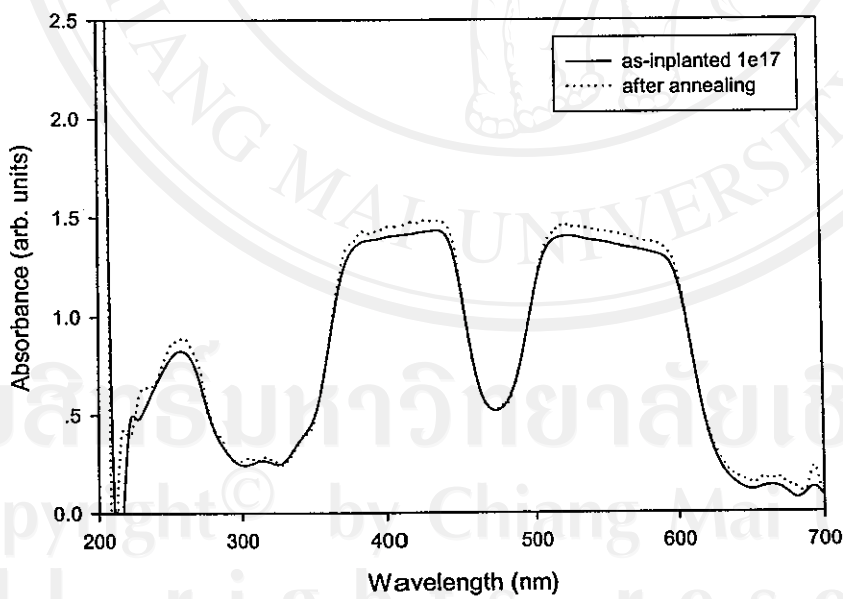
รูป 4.11 การดูดกลืนแสงของทับทิมสังเคราะห์หลังฝัง Ar^+ พลังงาน 60 กิโลอิเล็กตรอนโวลท์ ไดซ์ 5×10^{15} ไอโอน/ cm^2 เวลา 30 นาที และหลังการอบที่ 800°C เวลา 1 ชั่วโมง



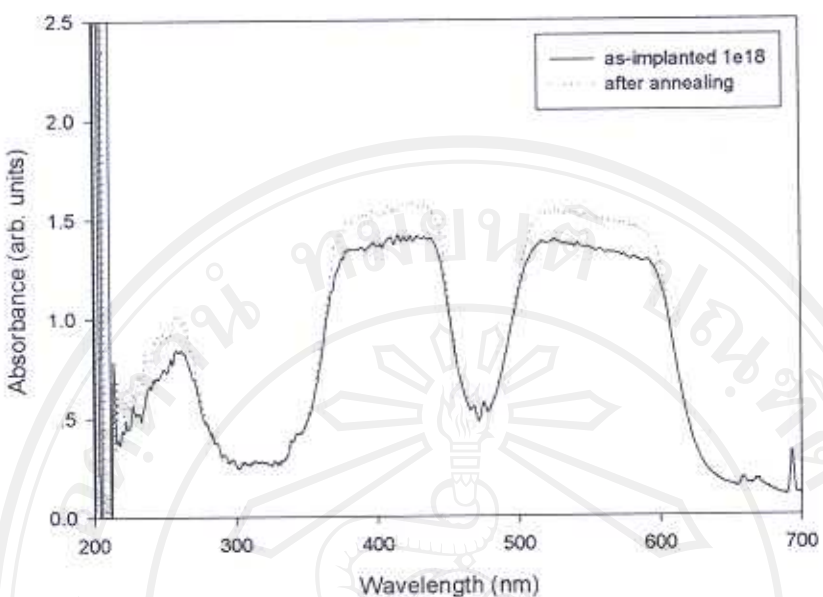
รูป 4.12 การดูดกลืนแสงของทับทิมสังเคราะห์หลังฝัง Ar^+ พลังงาน 60 กิโลอิเล็กตรอนโวลท์ ไดซ์ 1×10^{16} ไอโอน/ cm^2 เวลา 9.30 นาที และหลังการอบที่ 800°C เวลา 1 ชั่วโมง



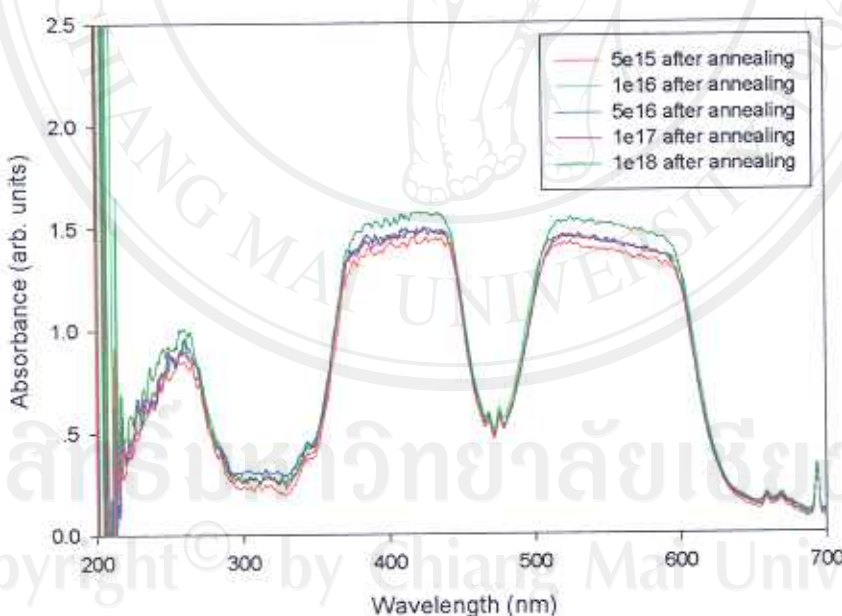
รูป 4.13 การดูดกลืนแสงของทับทิมสังเคราะห์หลังฟัง Ar^+ พลังงาน 60 กิโลเจ็กตรอนโวலท์ โดส 5×10^{16} ไอโอน/ ซม^2 เวลา 26 นาที และหลังการอบที่ 800°ซ เวลา 1 ชั่วโมง



รูป 4.14 การดูดกลืนแสงของทับทิมสังเคราะห์หลังฟัง Ar^+ พลังงาน 60 กิโลเจ็กตรอนโวலท์ โดส 1×10^{17} ไอโอน/ ซม^2 เวลา 1.38 ชั่วโมง และหลังการอบที่ 800°ซ เวลา 1 ชั่วโมง



รูป 4.15 การดูดกลืนแสงของทับทิมสังเคราะห์หลังการฝัง Ar^+ พลังงาน 60 กิโลอิเล็กตรอนโวลต์ โดส 1×10^{18} ไอโอน/ซม.² เวลา 5.26 ชั่วโมง และหลังการอบที่ 800° C เวลา 1 ชั่วโมง

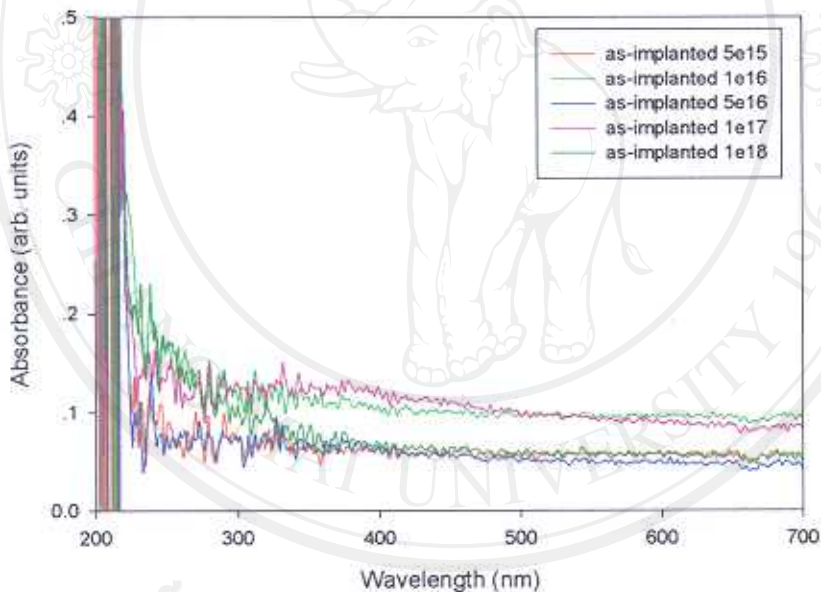


รูป 4.16 การดูดกลืนแสงของทับทิมสังเคราะห์ที่ฝังด้วย Ar^+ โดสต่างๆหลังการอบที่ 800° C เวลา 1 ชั่วโมง

การดูดกลืนแสงของทับทิมสังเคราะห์ที่ฝังด้วย Ar^+ โดสต่างๆหลังการอบ ดังรูป 4.16 พบร่องรอยที่มีความกว้าง 380 - 420 และ 510 - 590 นาโนเมตร หลังการอบด้วยรังสีที่ฝังด้วยโดส 1×10^{18} ไอโอน/ซม.² มีค่าสูงสุดและสูงกว่าที่โดส 5×10^{15} ไอโอน/ซม.² ซึ่งมีค่าต่ำสุดประมาณ 7 %

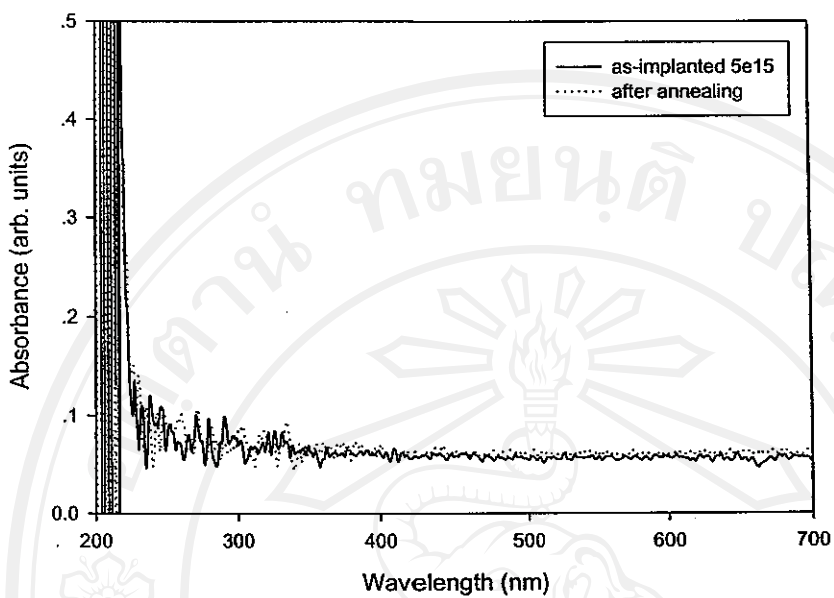
4.5.2 การดูดกลืนแสงหลังฟังก์ชันไอออนและหลังอบในแซฟไฟร์สั่งเคราะห์

การดูดกลืนแสงในแซฟไฟร์สั่งเคราะห์หลังฟังก์ชันไอออนที่ได้สด่างๆ มีลักษณะเหมือนกัน แสดงในรูป 4.17 แต่ความเข้มของการดูดกลืนแสงไม่เป็นไปในทิศทางเดียวกันคือ ที่ $350 - 700$ นาโนเมตร จะมีความแตกต่างของ การดูดกลืนแสง โดยที่ได้ 1×10^{16} และ 1×10^{17} ไอออน/ cm^2 มีค่าสูงกว่า 5×10^{15} , 5×10^{16} และ 1×10^{18} ไอออน/ cm^2 ประมาณ 80% หลังการอบพบว่า สเปกตรัมการดูดกลืนแสงของตัวอย่างที่ได้สด่า คือ 5×10^{15} และ 1×10^{16} ไอออน/ cm^2 มีลักษณะไม่ต่างจากหลังฟังก์ชันไอออน การเปรียบเทียบการดูดกลืนแสงก่อนและหลังอบในตัวอย่างที่ฟังด้วย Ar^+ ดังแสดงในรูป 4.18 – 4.22

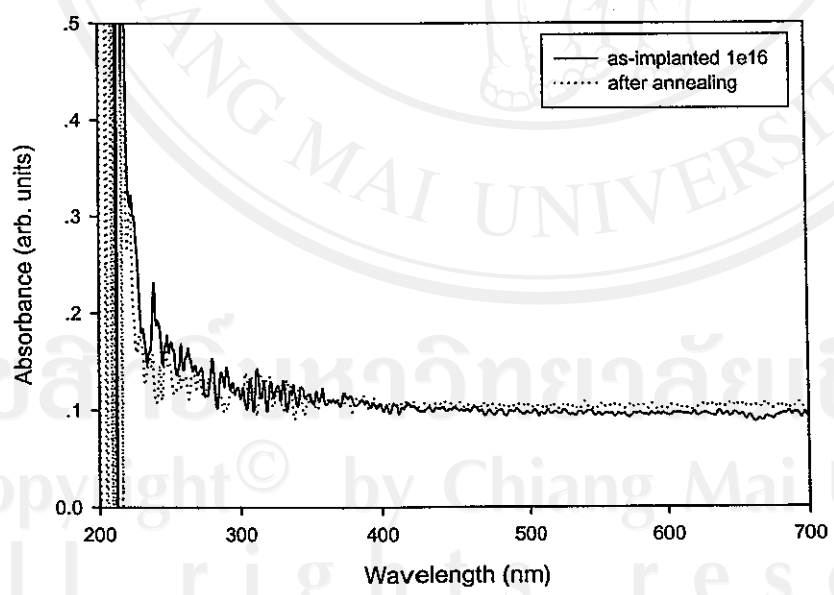


รูป 4.17 การดูดกลืนแสงของแซฟไฟร์สั่งเคราะห์หลังฟัง Ar^+ พลังงาน 60 กิโลเอล็กตรอนโวลต์ ที่ได้สด่างๆ

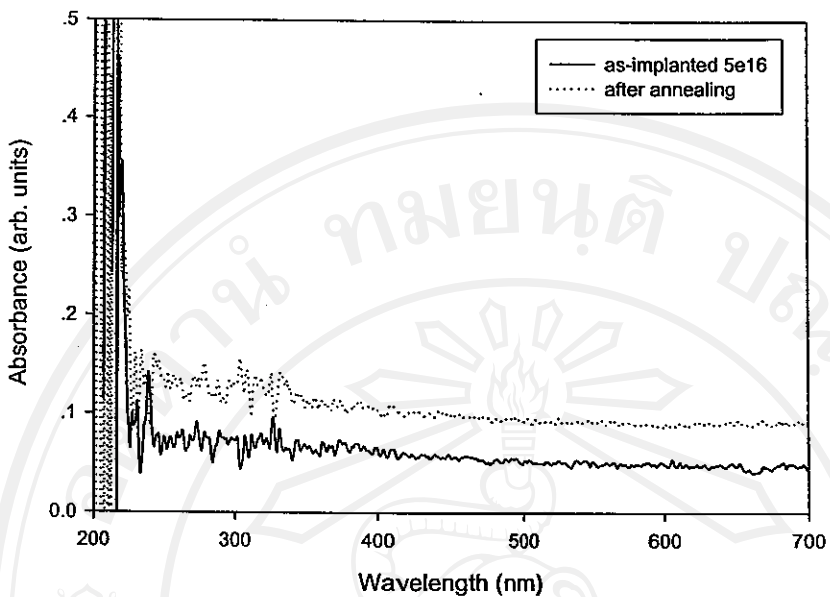
Copyright © by Chiang Mai University
All rights reserved



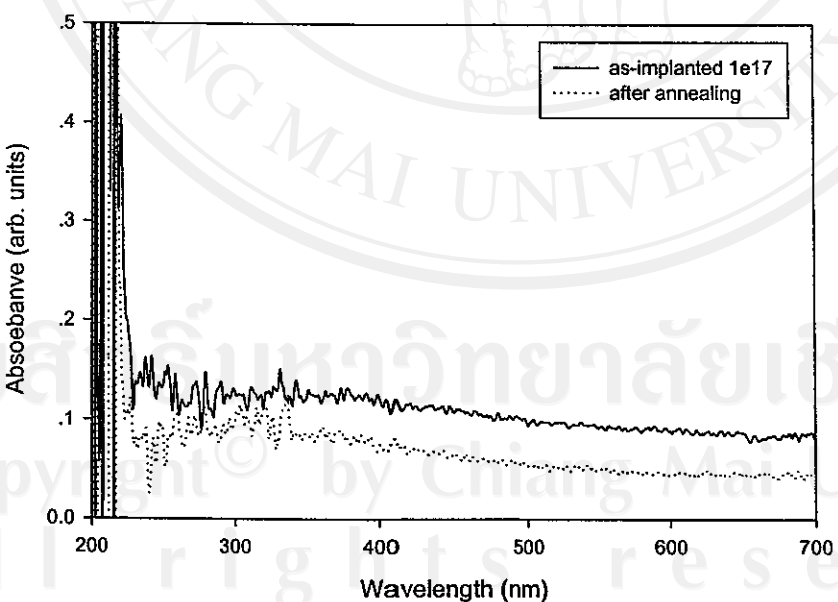
รูป 4.18 การดูดกลืนแสงของแซฟไฟร์สังเคราะห์หลังผิง Ar^+ พลังงาน 60 กิโลอิเล็กตรอนโวลท์ ดosis 5×10^{15} ไอโอน/ซม.² เวลา 30 นาที และหลังการอบที่ 800°ซ. เวลา 1 ชั่วโมง



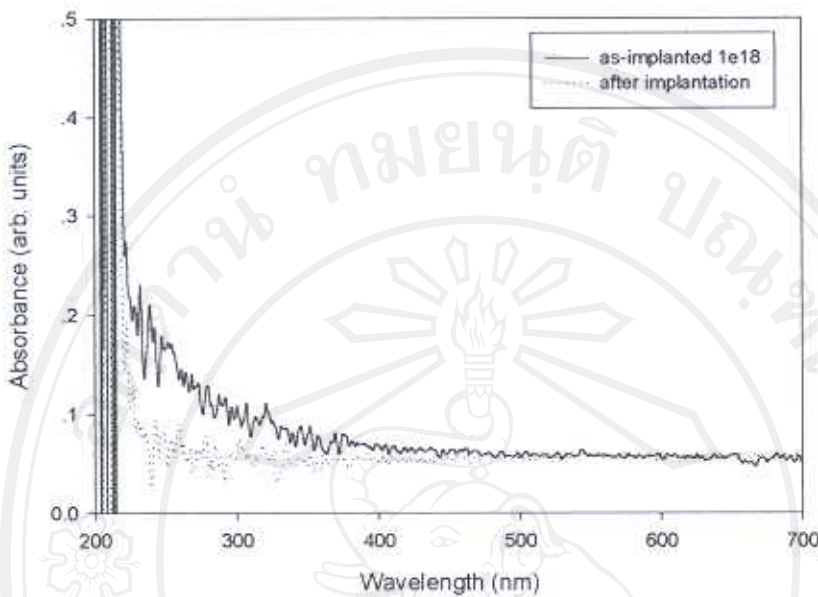
รูป 4.19 การดูดกลืนแสงของแซฟไฟร์สังเคราะห์หลังผิง Ar^+ พลังงาน 60 กิโลอิเล็กตรอนโวลท์ ดosis 1×10^{16} ไอโอน/ซม.² เวลา 9.30 นาที และหลังการอบที่ 800°ซ. เวลา 1 ชั่วโมง



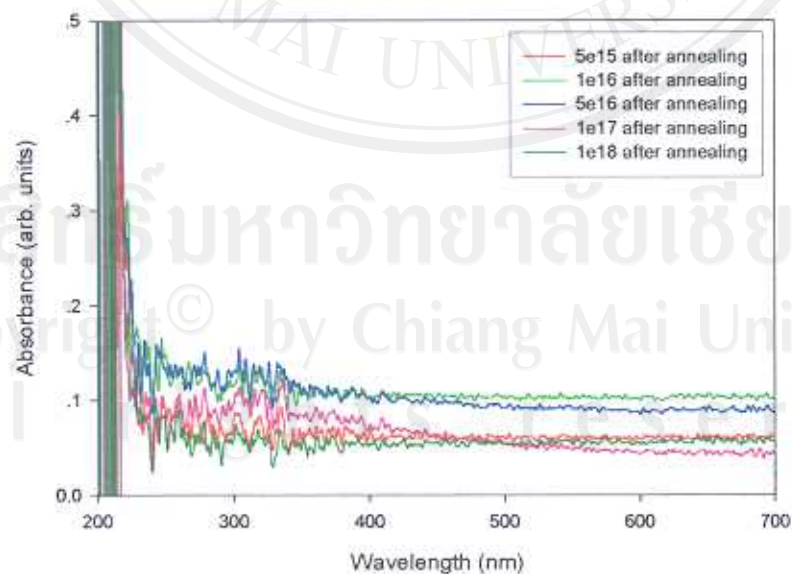
รูป 4.20 การดูดกลืนแสงของแซฟไฟร์สังเคราะห์หลังฝัง Ar^+ พลังงาน 60 กิโลอิเล็กตรอนโวลต์ โดส 5×10^{16} ไอโอน/ ซม^2 เวลา 26 นาทีและหลังการอบที่ 800°C เวลา 1 ชั่วโมง



รูป 4.21 การดูดกลืนแสงของแซฟไฟร์สังเคราะห์หลังฝัง Ar^+ พลังงาน 60 กิโลอิเล็กตรอนโวลต์ โดส 1×10^{17} ไอโอน/ ซม^2 เวลา 1.38 ชั่วโมงและหลังการอบที่ 800°C เวลา 1 ชั่วโมง



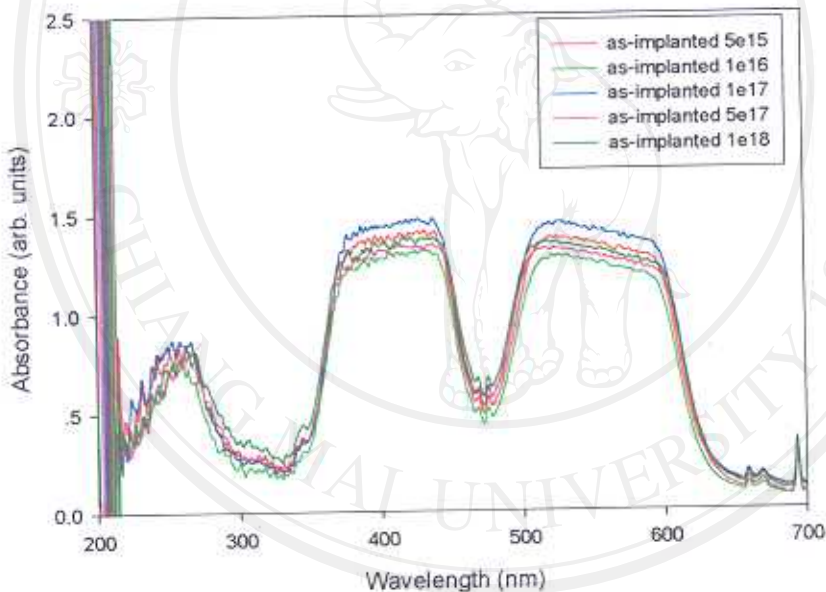
รูป 4.22 การดูดกลืนแสงของแซฟไฟร์สังเคราะห์หลังฝัง Ar^+ พลังงาน 60 กิโลอิเล็กตรอนโวলท์ โดส 1×10^{18} ไอโอม/ซม.² เวลา 5.26 ชั่วโมงและหลังการอบที่ 800° C เวลา 1 ชั่วโมง



รูป 4.23 การดูดกลืนแสงของแซฟไฟร์สังเคราะห์ที่ฝังด้วย Ar^+ หลังการอบที่ 800° C เวลา 1 ชั่วโมง

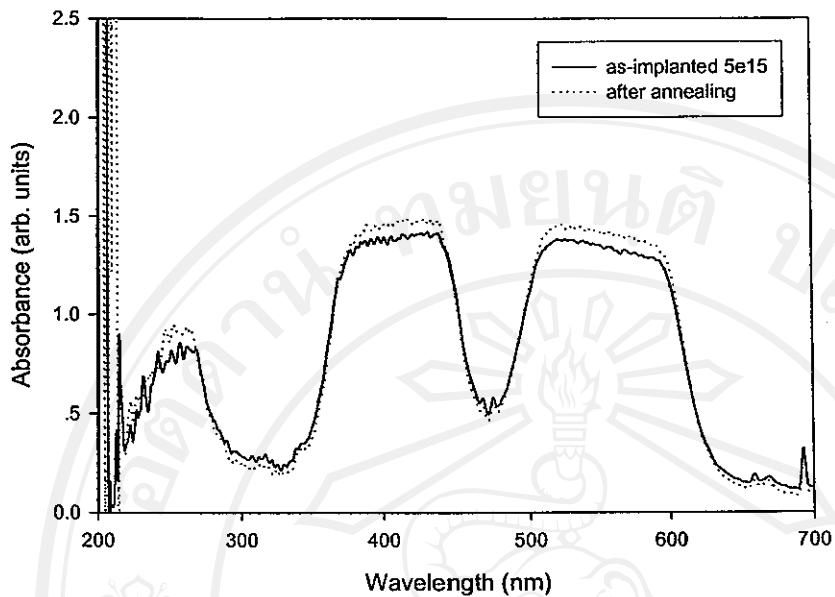
4.5.3 การดูดกลืนแสงหลังฟังก์ชันออกซิเจนไอออกและหลังอบในทับทิมสังเคราะห์

สเปกตรัมการดูดกลืนแสงหลังการฟัง O^+ ในทับทิมสังเคราะห์ที่ได้สดต่างๆ พบร่วมกับมีลักษณะไม่แตกต่างกัน ดังแสดงในรูป 4.24 ในช่วง 370-440 และ 510-600 นาโนเมตร การดูดกลืนแสงที่ได้ 1×10^{16} ไอออก/nm² มีค่าน้อยที่สุดและแตกต่างจากค่าการดูดกลืนแสงที่สูงสุดคือ 1×10^{17} ไอออก/nm² ประมาณ 11% การออบด้วยย่างหลังฟังก์ชันออกอนพบร่วมกับสเปกตรัมการดูดกลืนแสงของตัวอย่างมีความเข้มเพิ่มขึ้น โดยเพิ่มขึ้นมากที่สุดในตัวอย่างที่ฟังด้วยได้ 1×10^{18} ไอออก/nm² คือเมื่อกลืนแสงก่อนและหลังอบในตัวอย่างที่ฟัง O^+ ในทับทิมสังเคราะห์ที่ได้สดต่างๆ แสดงดังรูป 4.25 – 4.29

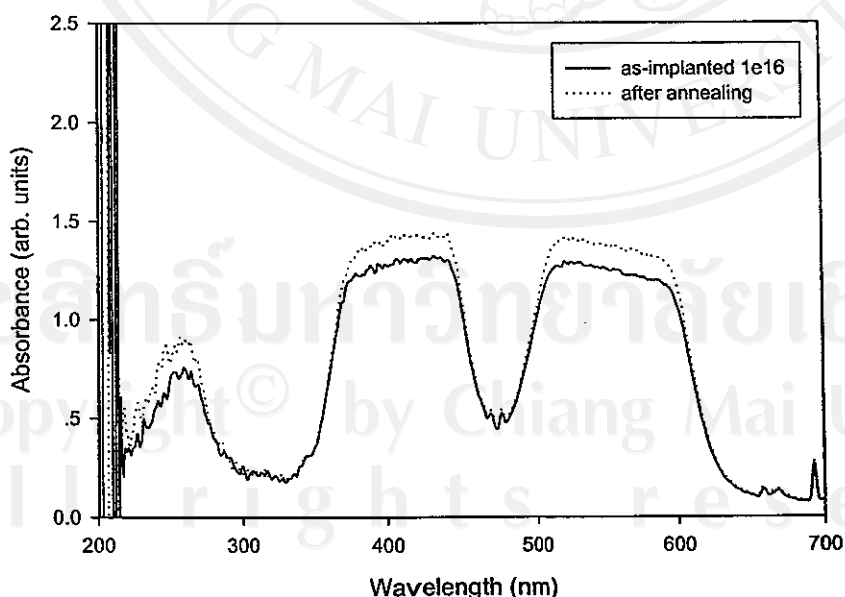


รูป 4.24 การดูดกลืนแสงของทับทิมสังเคราะห์หลังฟัง O^+ พลังงาน 60 กิโลเอลิกโตรอนโนวลด์ที่สดต่างๆ

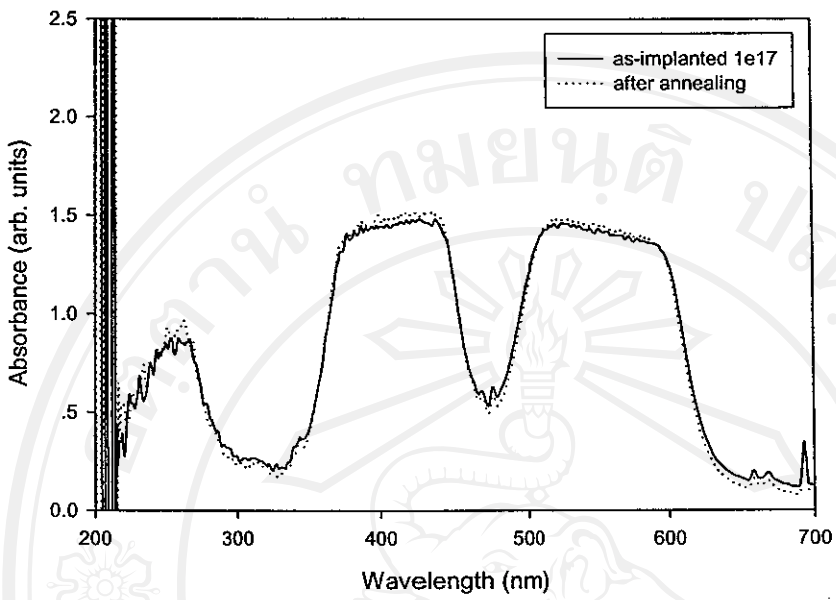
Copyright © by Chiang Mai University
All rights reserved



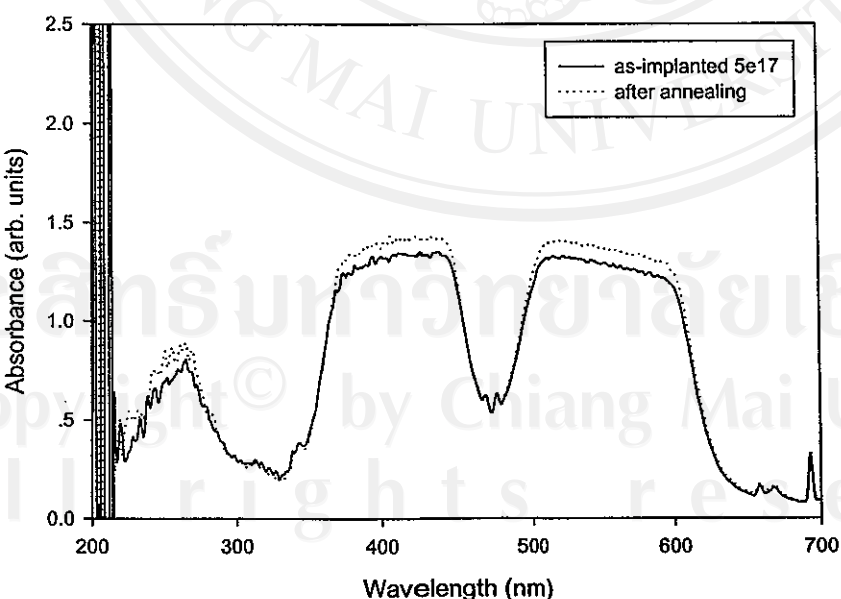
รูป 4.25 การดูดกลืนแสงของทับทิมสังเคราะห์หลังฝัง O^+ พลังงาน 60 กิโลเล็กตรอนโวลท์ โดส 5×10^{15} ไอโอน/ ซม^2 เวลา 5 นาทีและหลังการอบที่ 800°ซ เวลา 1 ชั่วโมง



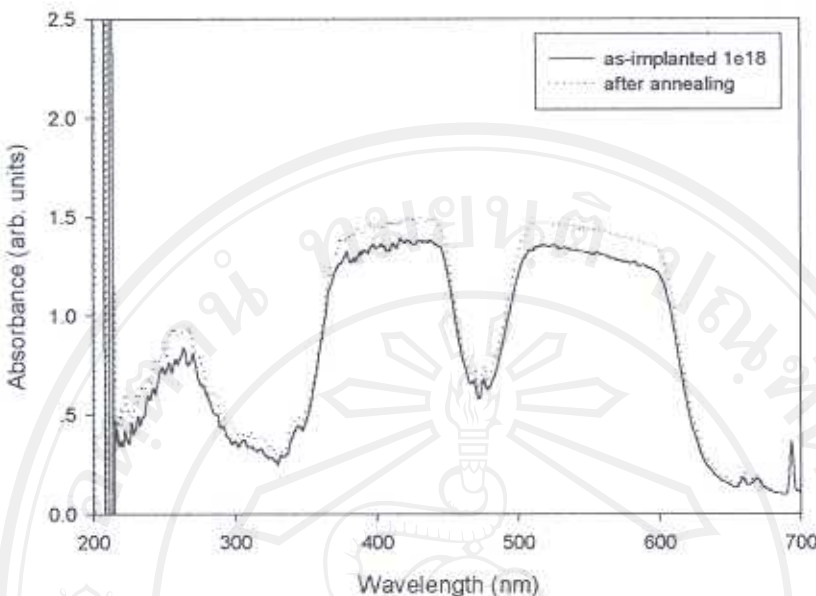
รูป 4.26 การดูดกลืนแสงของทับทิมสังเคราะห์หลังฝัง O^+ พลังงาน 60 กิโลเล็กตรอนโวลท์ โดส 1×10^{16} ไอโอน/ ซม^2 เวลา 18 นาที และหลังการอบที่ 800°ซ เวลา 1 ชั่วโมง



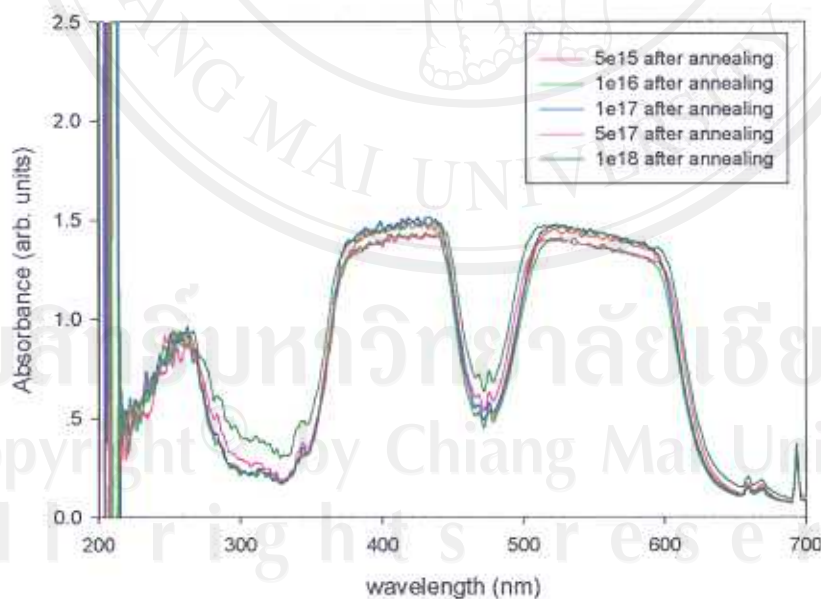
รูป 4.27 การดูดกลืนแสงของทับทิมสังเคราะห์หลังฝัง O^+ พลังงาน 60 กิโลอิเล็กตรอนโวลท์ โดส 1×10^{17} ไอโอน/ cm^2 เวลา 1.43 ชั่วโมง และหลังการอบที่ $800^\circ C$ เวลา 1 ชั่วโมง



รูป 4.28 การดูดกลืนแสงของทับทิมสังเคราะห์หลังฝัง O^+ พลังงาน 60 กิโลอิเล็กตรอนโวลท์ โดส 5×10^{17} ไอโอน/ cm^2 เวลา 4.18 ชั่วโมง และหลังการอบที่ $800^\circ C$ เวลา 1 ชั่วโมง



รูป 4.29 การดูดกลืนแสงของทับทิมสังเคราะห์หลังฝัง O^+ พลังงาน 60 กิโลอิเล็กตรอนโวლต์ โดส 1×10^{18} ไอโอน/ซม.² เวลา 11.09 ชั่วโมงและหลังการอบที่ 800°ฯ เวลา 1 ชั่วโมง

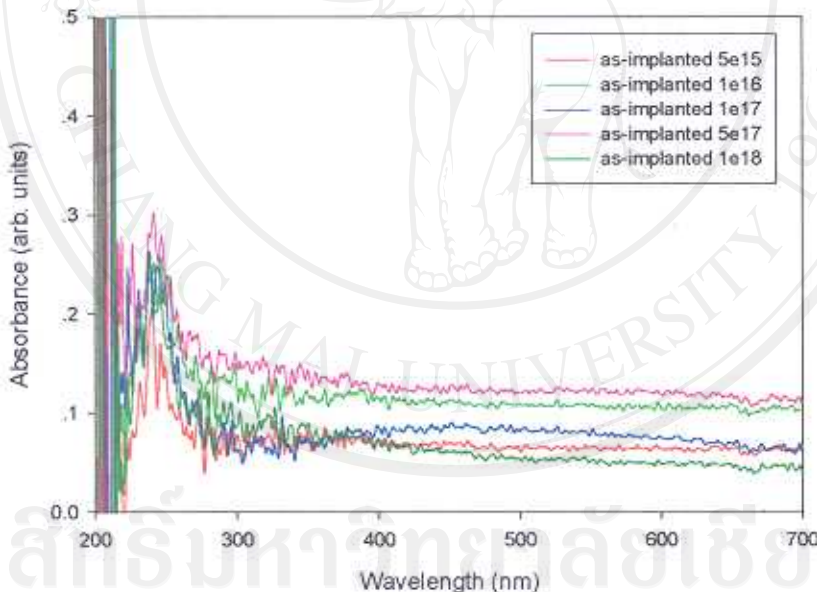


รูป 4.30 การดูดกลืนแสงของแซฟไฟร์สังเคราะห์ที่ฝังด้วย O^+ หลังการอบที่ 800°ฯ เวลา 1 ชั่วโมง

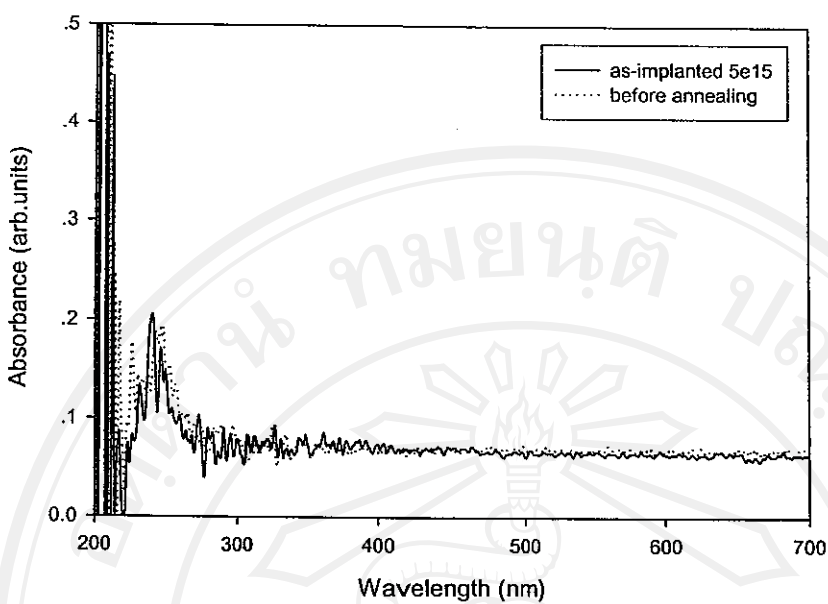
การดูดกลืนแสงหลังการอบในรูป 4.30 มีค่าต่างกันมากที่สุดที่ 300 นาโนเมตร ตัวอย่างที่ฝังด้วยโดส 1×10^{18} ไอโอน/ซม.² มีค่าสูงกว่าที่โดส 5×10^{15} ไอโอน/ซม.² ซึ่งต่ำสุด 87%

4.5.4 การดูดกลืนแสงหลังฟังก์ชันไอออนและหลังอบในแฟฟไฟร์สั่งเคราะห์

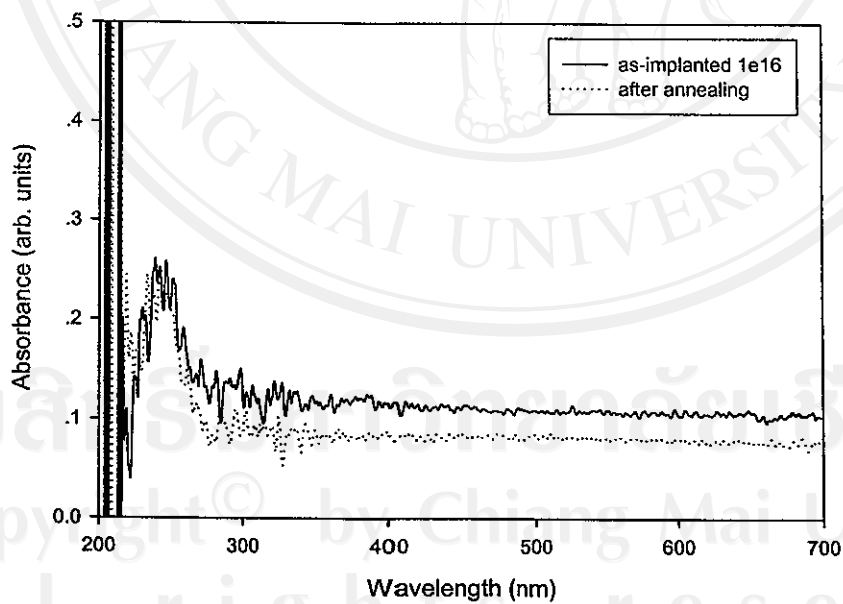
การดูดกลืนแสงหลังการฟัง O^+ ในแฟฟไฟร์สั่งเคราะห์พบว่าการดูดกลืนแสงมีลักษณะคล้ายกัน ดังแสดงในรูป 4.31 スペกตรัมของการดูดกลืนแสงทุกตัวอย่างมีการดูดกลืนแสงที่ประมาณ 240 นาโนเมตร โดยการดูดกลืนแสง ที่ได้ 5 $\times 10^{17}$ ไอออน/ m^2 มีค่าสูงสุดและมากกว่าในตัวอย่างที่ฟังด้วยโดส 5 $\times 10^{15}$ ไอออน/ m^2 ประมาณ 2 เท่า เมื่อเปรียบเทียบการดูดกลืนแสงหลังฟัง O^+ และหลังอบ แสดงในรูป 4.32 – 4.36 โดยการฟังไอออนที่ได้ 5 $\times 10^{15}$, 1 $\times 10^{16}$, 1 $\times 10^{17}$ มีค่าใกล้เคียงกัน ที่ได้ 5 $\times 10^{17}$ ไอออน/ m^2 หลักการอบพบว่าตัวอย่างมีการดูดกลืนแสงได้น้อยลง แต่การฟัง O^+ ที่ได้ 1 $\times 10^{18}$ ไอออน/ m^2 พบว่า หลังการอบมีพื้นการดูดกลืนแสงเพิ่มขึ้นอย่างมากที่ 390 – 600 นาโนเมตร โดยมีค่าสูงสุดที่ 535 นาโนเมตร โดยมีการดูดกลืนแสงมากกว่าตัวอย่างก่อนการอบ 1.8 เท่า ดังแสดงในรูป 4.36



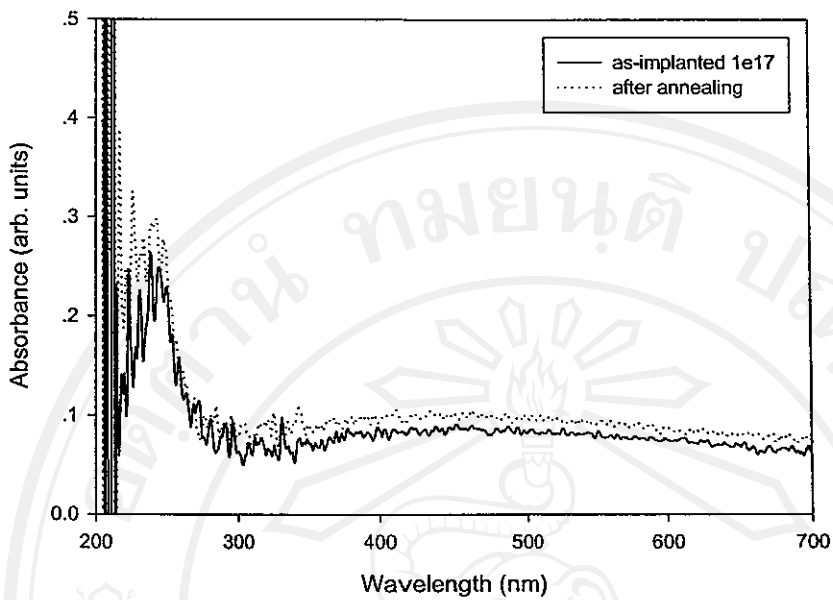
รูป 4.31 การดูดกลืนแสงของแฟฟไฟร์สั่งเคราะห์หลังฟัง O^+ พลังงาน 60 กิโลเอลิกตรอนโวลท์ ที่โดสต่างๆ



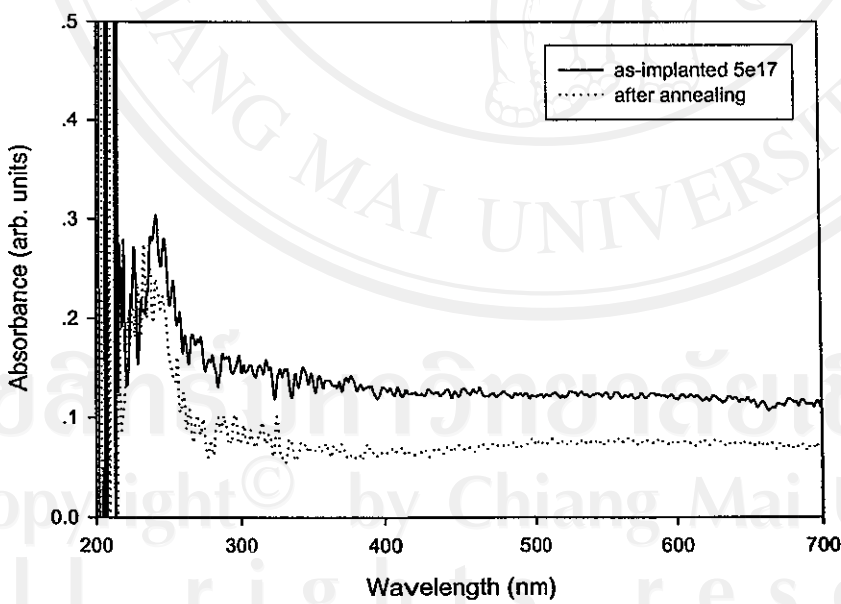
รูป 4.32 การดูดกลืนแสงของแซฟไฟร์สังเคราะห์หลังฝัง O^+ พลังงาน 60 กิโลอิเล็กตรอนโวლท์ โดส 5×10^{15} ไอโอน/ ซม^2 เวลา 5 นาที และหลังการอบที่ 800°ซ เวลา 1 ชั่วโมง



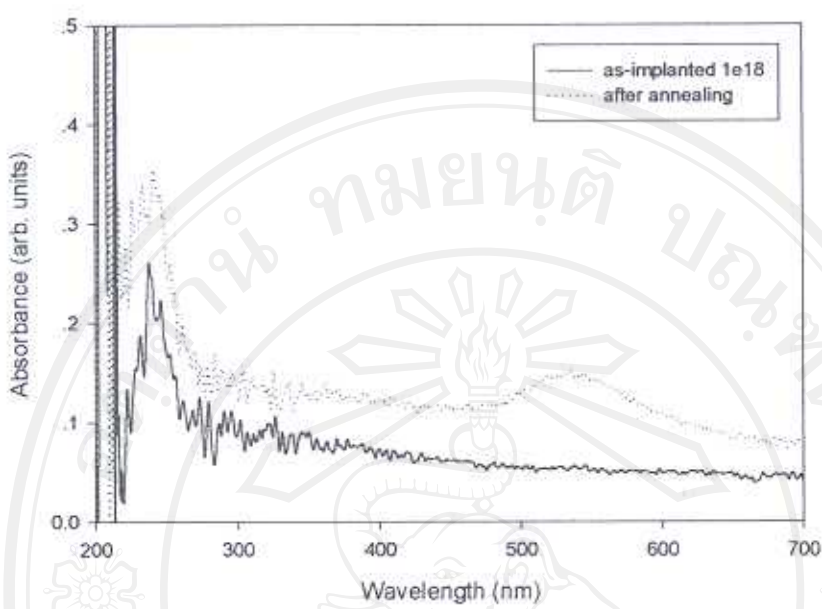
รูป 4.33 การดูดกลืนแสงของแซฟไฟร์สังเคราะห์หลังฝัง O^+ พลังงาน 60 กิโลอิเล็กตรอนโวลท์ โดส 1×10^{16} ไอโอน/ ซม^2 เวลา 18 นาที และหลังการอบที่ 800°ซ เวลา 1 ชั่วโมง



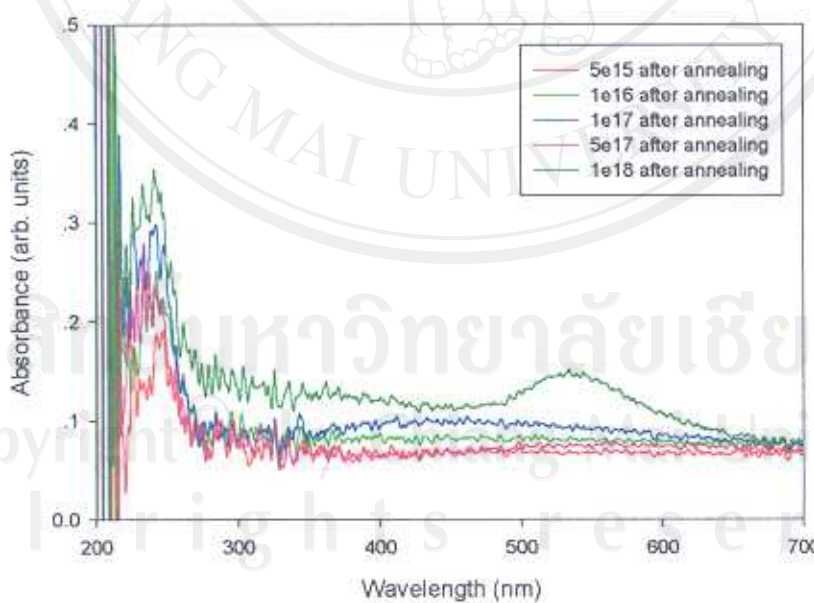
รูป 4.34 การดูดกลืนแสงของเซป์ไฟร์สังเคราะห์หลังฟัง O^+ พลังงาน 60 กิโลอิเล็กตรอนโวลท์ โดส 1×10^{17} ไอโอน/ ซม^2 เวลา 1.43 ชั่วโมง และหลังการอบที่ 800°ซ เวลา 1 ชั่วโมง



รูป 4.35 การดูดกลืนแสงของเซป์ไฟร์สังเคราะห์หลังการฟัง O^+ พลังงาน 60 กิโลอิเล็กตรอนโวลท์ โดส 5×10^{17} ไอโอน/ ซม^2 เวลา 4.18 ชั่วโมง และหลังการอบที่ 800°ซ เวลา 1 ชั่วโมง



รูป 4.36 การคุณภาพแสงของแรฟไฟร์สั่งเคราะห์หลังการฝัง O^+ พลังงาน 60 กิโลอิเล็กตรอนโกลท์ โดส 1×10^{18} ไอโอนเซม 2 เวลา 11.09 ชั่วโมง และหลังการอบที่ 800°ซ. เวลา 1 ชั่วโมง



รูป 4.37 การคุณภาพแสงของแรฟไฟร์สั่งเคราะห์ที่ฝังด้วย O^+ โดสต่างๆ หลังการอบที่ 800°ซ. เวลา 1 ชั่วโมง

จากรูป 4.37 สเปกตรัมการดูดกลืนแสงของแฟฟ์เฟอร์ที่ผ่านด้วย O^+ พบร่วงหลังอบที่ 800°C เกล้า 1 ชั่วโมง การดูดกลืนแสงแตกต่างกันมากที่ 250 นาโนเมตร และค่อนข้างคงที่ในช่วง 280-350 นาโนเมตร โดยโดส 1×10^{18} ไอโอน/ cm^2 มีค่าสูงสุดและมากกว่าที่โดส 5×10^{15} ไอโอน/ cm^2 ซึ่งต่ำสุด 48% การเพิ่มขึ้นที่ของการดูดกลืนแสงที่ 535 นาโนเมตร คาดว่าเนื่องจากอาจมี Cr^{3+} ในโครงสร้างผลึก

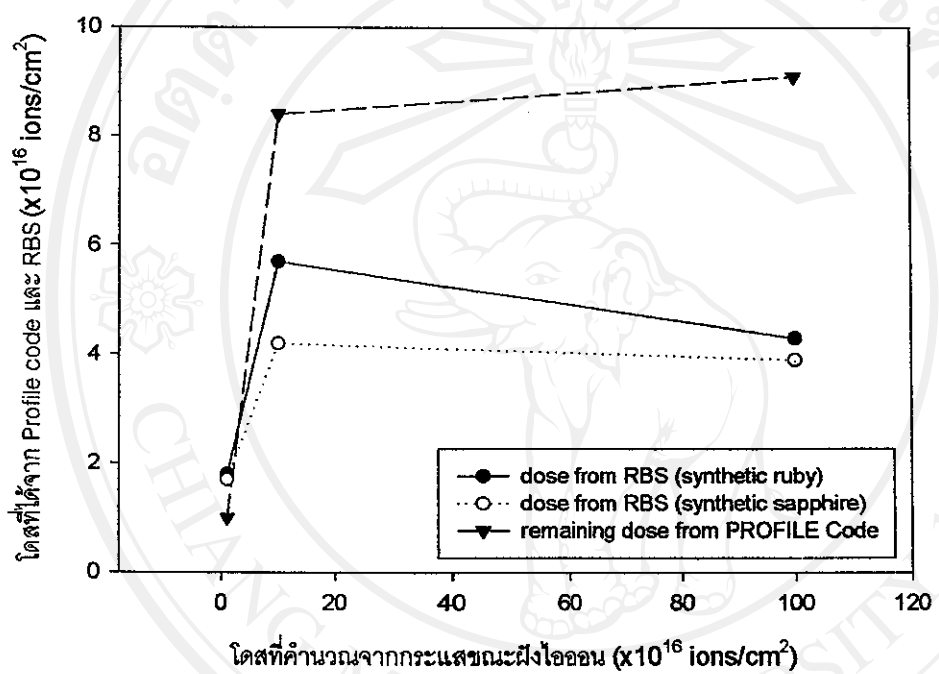
4.6 ผลการวิเคราะห์โดยสด้วย Rutherford Backscattering Spectrometry (RBS)

การวิเคราะห์ปริมาณโดยสบันตัวอย่างด้วยเทคนิค RBS ได้ดำเนินการที่ Department of Materials Science and Engineering, Tsinghua University สาธารณรัฐประชาชนจีน โดยเครื่อง Tandetron Tandem accelerator ซึ่งเทคนิค RBS เป็นเทคนิคที่สามารถหาลักษณะเฉพาะของอะตอมที่เปลกปลอกมไปจากเนื้อวัสดุเดิม โดยใช้ไอโอนของ He^{2+} พลังงาน 2.0 MeV (Songsiriritthigul, 1997) ยิงไปบนวัสดุและวัดพลังงานของอนุภาคที่กระเจิงมาตกระบทกับหัววัด โดยค่าโดสที่วัดจาก RBS เมื่อเปรียบเทียบกับโดสที่ได้จากการคำนวณกระแสฟังไอก้อนและโดยสจากโปรแกรม Profile code ซึ่งคำนวณปริมาณโดยสที่เหลือ (remaining dose) จากการผ่านไอก้อนแสดงดังตารางที่ 4.3

ตารางที่ 4.3 เปรียบเทียบโดยสที่ได้จากการวัดกระแสแสงฟังไอก้อน โดยสจาก Profile code และโดยสจากการวัดด้วยเทคนิค RBS

รหัสตัวอย่าง	R2	R1	R3	S2	S1	S3
โดยสที่ได้จากการคำนวณ กระแสแสงฟังไอก้อน ($\times 10^{16} \text{ cm}^{-2}$)	1	10	100	1	10	100
โดยสจาก Profile code ($\times 10^{16} \text{ cm}^{-2}$)	0.99	8.40	9.10	0.99	8.40	9.10
ปริมาณ Ar^+ วัดโดย RBS ($\times 10^{16} \text{ cm}^{-2}$)	1.8	5.7	4.3	1.7	4.2	3.9

ปริมาณโดสที่ผ่านบนรัศดูที่ทดสอบจากการวัดด้วย RBS มีค่าใกล้เคียงกับที่คำนวณได้จากการคำนวณค่ากระแสขัม腓งไอโอนและจากโปรแกรม Profile code เมื่อทดสอบสูงขึ้นเมื่อแนวโน้มคงที่ไม่เพิ่มขึ้นตามการคำนวณจากการแสลงเนื่องจากที่ทดสอบสูงค่า sputtering ของไอโอนที่เกิดขึ้นจะสูงขึ้นด้วย และเนื่องจากการออบประจุที่ผู้ทำให้ไอโอนไม่สามารถผ่านบนรัศดูได้ ในการทดลองนี้พบว่าปริมาณโดสจะเริ่มคงที่ที่ทดสอบตั้งแต่ 1×10^{17} ไอโอน/ cm^2 ซึ่งแนวโน้มของโดสที่ได้จากการวัดกระแสและจาก RBS มีลักษณะเดียวกัน แสดงดังรูป 4.38



รูป 4.38 เปรียบเทียบโดสจาก Profile code และโดสบนทับทิมและแซฟไฟร์สังเคราะห์จากการวัดด้วย RBS

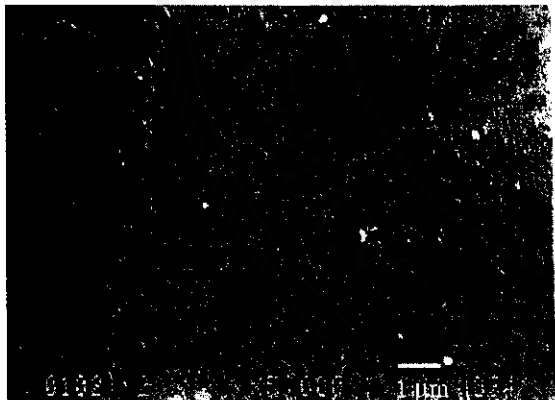
ลิขสิทธิ์มหาวิทยาลัยเชียงใหม่
 Copyright © by Chiang Mai University
 All rights reserved

4.7 การตรวจสอบพื้นผิวตัวอย่างด้วยกล้องจุลทรรศน์อิเล็กตรอนแบบส่องกราด

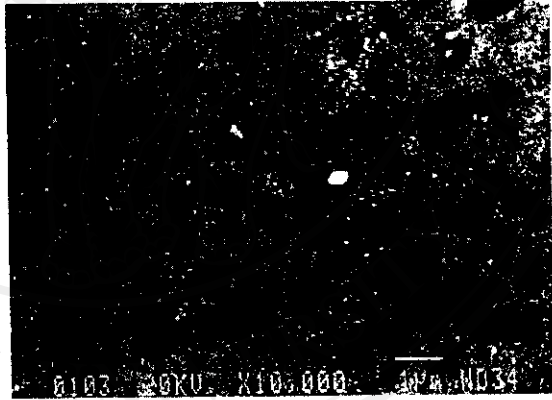
การตรวจสอบพื้นผิวตัวอย่างด้วยกล้องจุลทรรศน์อิเล็กตรอนแบบส่องกราด (SEM) ในตัวอย่างหลังฝังไอโอดินไม่พบการเปลี่ยนแปลงบริเวณพื้นผิว เมื่ออบตัวอย่างที่อุณหภูมิ 800°C เวลา 1 ชม. พบว่าตัวอย่างที่ฝังด้วยออกซิเจนไออกอนมี blister และ crater เกิดขึ้น ในขณะที่ตัวอย่างที่ฝังด้วยอาร์กอนมีผิวราบรื่นและไม่พบ blister ซึ่งการเกิด blister และ crater นี้จะไม่ปรากฏในตัวอย่างที่ไม่ฝังไออกอน

4.7.1 ลักษณะพื้นผิวจากการฝังอาร์กอนไออกอนในทับทิมและแซฟไฟร์สังเคราะห์

ในการฝังอาร์กอนไออกอนในทับทิมและแซฟไฟร์สังเคราะห์ ไม่พบ blister ที่บริเวณผิว แต่จะมีลักษณะผิวที่ไม่เรียบและเกิดเป็นหลุมชี้น้ำไป ตัวอย่างดังรูป 4.39



(g)

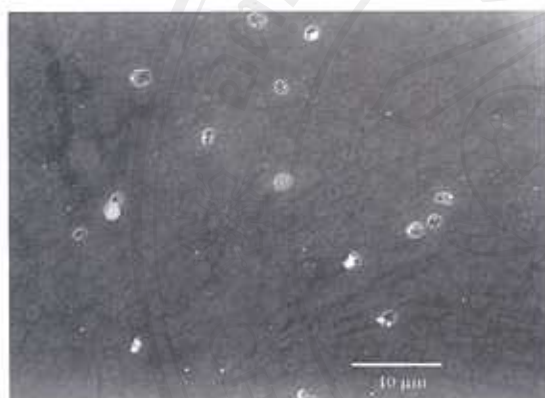


(x)

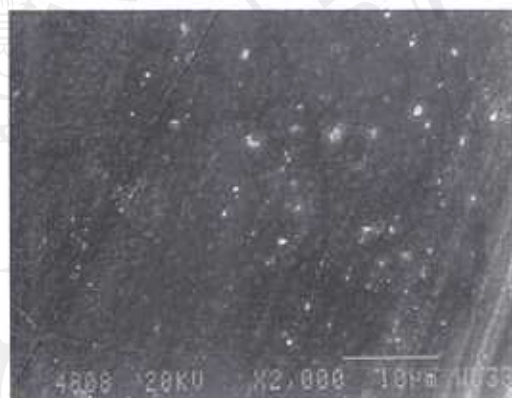
รูป 4.39 ภาพจากกล้องจุลทรรศน์อิเล็กตรอนแบบส่องกราด จากการฝัง Ar^+ บนทับทิมสังเคราะห์ ดอส 1×10^{18} ไออกอน/ ซม^2 (g) กำลังขยาย 5000 เท่า (x) กำลังขยาย 10000 เท่า

4.7.2 ลักษณะพื้นผิวจากการฝังออกซิเจนไออกอนในทับทิมและแซฟไฟร์สังเคราะห์

การฝังออกซิเจนไออกอนในแซฟไฟร์สังเคราะห์ได้ดี 1×10^{17} และ 5×10^{17} ไออกอน/ cm^2 พ้น blister และ crater เป็นจำนวนมาก ที่ได้ดี 5×10^{17} ไออกอน/ cm^2 ผิวด้วยปัจมีความหนาแน่นและปริมาณของ blister มาากกว่าฝังไออกอนที่ได้ดี 1×10^{17} ไออกอน/ cm^2 ขนาดของ blister ประมาณ 1 μm ตั้งแต่ในรูป 4.40 และที่ได้ดี 1×10^{18} ไออกอน/ cm^2 บริเวณผิวเกิดรอยแตกหักไปทั่วผิว ซึ่งรอยแตกเหล่านี้ไม่ปรากฏในบริเวณที่ไม่ฝังไออกอน ตั้งแต่ในรูป 4.41 (ก) บริเวณรอยต่อระหว่างแนวที่ถูกฝังและไม่ฝังไออกอน รูป 4.41 (ข) ขยายบริเวณที่มีรอยแตกหัก

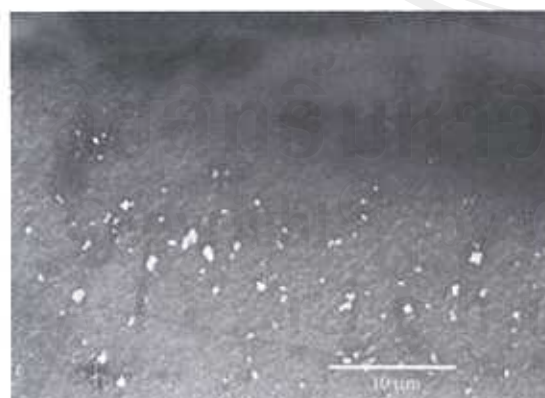


(ก)



(ข)

รูป 4.40 ภาพจากกล้องจุลทรรศน์อิเล็กตรอนแบบส่องกล้อง จากการฝัง O⁺ บนแซฟไฟร์สังเคราะห์ กำลังขยาย 2000 เท่า (ก) 1×10^{17} ไออกอน/ cm^2 (ข) 5×10^{17} ไออกอน/ cm^2



(ก)



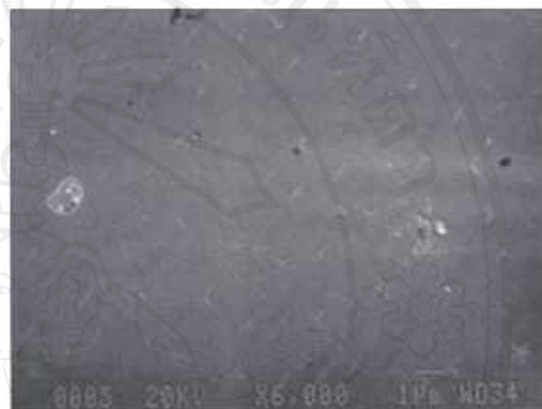
(ข)

รูป 4.41 ภาพจากกล้องจุลทรรศน์อิเล็กตรอนแบบส่องกล้อง จากการฝัง O⁺ บนแซฟไฟร์สังเคราะห์ ได้ดี 1×10^{18} ไออกอน/ cm^2 (ก) กำลังขยาย 2500 เท่า (ข) กำลังขยาย 10000 เท่า

การฝังออกซิเจนในทับพิมลังเคราะห์ไดส์ 5×10^{17} ไอโอน/ cm^2 พบร่องรอยแตกหักทั้งผิวและมีขนาดเล็กและปริมาณน้อยกว่าในเพลินลังเคราะห์ ดังรูป 4.42 ลักษณะของรอยแตกหักเกิดขึ้นเรียงตัวไปในทิศทางเดียวกัน สรุวการฝังออกซิเจนไอโอนในทับพิมลังเคราะห์ ไม่พบ blister เนื่องจากไม่พบไฟร์ลังเคราะห์ ผิวตัวอย่างชุบระดับรูป 4.43



(ก)

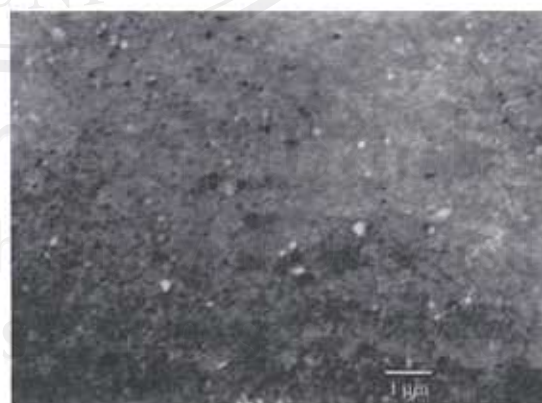


(ข)

รูป 4.42 ภาพจากกล้องจุลทรรศน์อิเล็กตรอนแบบส่องกราด จากการฝัง O^+ บนทับพิมลังเคราะห์ ไดส์ 5×10^{17} ไอโอน/ cm^2 (ก) กำลังขยาย 3000 เท่า (ข) กำลังขยาย 6000 เท่า



(ก)



(ข)

รูป 4.43 ภาพจากกล้องจุลทรรศน์อิเล็กตรอนแบบส่องกราด จากการฝัง O^+ บนทับพิมลังเคราะห์ ไดส์ 1×10^{18} ไอโอน/ cm^2 (ก) กำลังขยาย 2000 เท่า (ข) กำลังขยาย 10000 เท่า

4.8 อภิปรายผลการทดลอง

การฝังไอกอนของออกซิเจนและอาร์กอนบนทับทิมและแซฟไฟร์สังเคราะห์ ที่พัลส์งาน 60 กิโลอิเล็กตรอน伏ต์ พบร่วมกับการเปลี่ยนแปลงของดัชนีหักเห แต่จากการสังเกตลักษณะตัวอย่างด้วยตาเปล่าจะเห็นว่าชิ้นตัวอย่างที่ถูกฝังด้วยไอกอนจะมีการสะท้อนแสงน้อยกว่าตัวอย่างที่ไม่ได้ฝังไอกอน

การอบตัวอย่างหลังการฝังออกซิเจนไอกอนพบว่าเกิด blister ขนาดเส้นผ่าศูนย์กลางประมาณ 1 ไมโครเมตร ขึ้นเป็นจำนวนมาก สาเหตุของการเกิด blister นั้น Zhad and Sood (1991) กล่าวว่าในการฝังไอกอนของก้าชด้วยบิร์มานดิสที่เกินขีดจำกัด จะทำให้เกิด blister ขึ้นเนื่องจาก

- ความสามารถในการละลายในของแข็ง (solid solubility) ของอะตอมที่ใช้ฝังมีค่าต่ำ
- ความสามารถในการแพร่รวมกันเป็นกลุ่มมีค่าสูงพอ
- ความสามารถในการเกิดปฏิกิริยาทางเคมีของอะตอมหลักและอะตอมที่ฝังต่ำ
- Sputtering yield ต่ำ ทำให้เกิดความเข้มข้นวิกฤต (critical concentration) ขึ้น

ในการฝังออกซิเจนไอกอนที่ไดส์ 1 $\times 10^{17}$ และ 5 $\times 10^{17}$ ไอกอน/ ซม^2 พบร่วมกันที่ 400 °C ของการฝังจะมีผลต่อการเกิด blister ที่มีขนาดใหญ่กว่า 100 ไมโครเมตร แต่เมื่อเพิ่มอุณหภูมิเป็น 700 °C ได้ลดลงเหลือ 50 ไมโครเมตร สำหรับการฝังที่ 1 $\times 10^{17}$ ไอกอน/ ซม^2 และ 5 $\times 10^{17}$ ไอกอน/ ซม^2 พบว่าค่าไดส์มีค่าคงที่ที่ประมาณ 4 $\times 10^{16}$ ไอกอน/ ซม^2 ซึ่งมีค่าใกล้เคียงกับค่าไดส์วิกฤต และในระหว่างการอบด้วยความร้อน (thermal annealing) ขึ้นที่เกิดความเสียหาย (damage layer) จะเคลื่อนที่ออกมานอกบริเวณผิวมากกว่าการเคลื่อนที่เข้าไปในวัสดุ (Xie et al., 1997) จึงทำให้ไม่สามารถเห็น blister ในตัวอย่างหลังการฝังไอกอน เเต่มีอิทธิพลต่อความร้อนแก่ตัวอย่าง ไอกอนของก้าชที่กระจายอยู่ใต้ผิวตัวอย่าง จะเคลื่อนที่มารวมกันทำให้เกิดเป็น blister ขึ้น และพบว่าการฝังออกซิเจนไอกอนไดส์ 1 $\times 10^{18}$ ไอกอน/ ซม^2 และอาร์กอนไอกอน ไดส์ 1 $\times 10^{17}$ ไอกอน/ ซม^2 มีรอยแตกเกิดขึ้นทั่วไปบริเวณผิวนอก blister ซึ่ง Auciello และ Kelly (1984) อนุมานสาเหตุของการแตกของ blister ว่าเกิดขึ้นเนื่องจากต้องการลดความเด็น (stress release) ที่เกิดขึ้นใน blister cap ทำให้เกิดรอยแตกบริเวณผิวนอก blister ในตำแหน่งที่มีความเค้นสูง เนื่องจากความรวมตัวกันอย่างรวดเร็วของก้าชในการเกิด blister

ที่ได้สิวิกฤต ทำให้ระยะทางระหว่างฟองอากาศ (bubble) น้ำอยู่และความหนาแน่นของฟองอากาศมีมากขึ้น

การดูดกลืนแสงของทับทิมสังเคราะห์ก่อนการฝังไอโอดินมีการดูดกลืนแสงมากในช่วงสีม่วงและช่วงสีเขียวถึงเหลือง และสองผ่านแสงในช่วงสีน้ำเงินและสีแดง ซึ่งเกิดจากสารเจือของโครเมียม (Hughes, 1997) เมื่อฝังไอโอดินและอบตัวอย่างที่ 800° พบว่าสเปกตรัมการดูดกลืนแสงมีลักษณะโดยรวมเหมือนเกิดแต่ความเข้มเพิ่มขึ้น แสดงว่าการฝังอาทรกอนและออกซิเจนไม่ทำให้เกิดตำแหน่งใหม่ขึ้นและไม่ทำให้เกิดการเปลี่ยนแปลงสถานะของโครเมียมในทับทิมสังเคราะห์

การดูดกลืนแสงของแซฟไฟร์สังเคราะห์ก่อนการฝังไอโอดินมีความเข้มใกล้เคียงกันตลอดทุกความยาวคลื่น แต่มีค่าสูงในช่วง 200-230 นาโนเมตร และต่ำในช่วง 550-650 นาโนเมตร ลักษณะของสเปกตรัมหลังการฝังอาทรกอนไอโอดินพบว่าไม่มีการเปลี่ยนแปลง ในขณะที่ตัวอย่างที่ฝังออกซิเจนไอโอดินมีการดูดกลืนแสงเพิ่มขึ้นที่ประมาณ 240 นาโนเมตร เนื่องจากอาจเกิดตำแหน่งแบบ F^+ ขึ้น ซึ่งหลังการอบตัวอย่างตำแหน่งนี้ยังคงอยู่ และตัวอย่างที่ผ่านการฝังออกซิเจนไอโอดิน ได้ 1×10^{18} ไอโอดิน/ ซม^2 พบว่ามีการดูดกลืนแสงเพิ่มขึ้นที่ 535 นาโนเมตร ซึ่งจากการวัดการดูดกลืนแสงในคอร์นดัมธรรมชาติ โดย Saminpanya (2000) พบว่าช่วงการดูดกลืนแสงที่เกิดจาก Cr^{3+} นั้นสามารถครอบคลุมสเปกตรัมในช่วง 535 นาโนเมตรนี้ได้ ออกซิเจนไอโอดินที่ผ่านอบตัวอย่างอาจเกิดขันตัวกิริยา กับ Cr^{3+} ในตัวอย่างเกิดเป็นสารประกอบ Cr_2O_3 ได้